

Zeitschrift: Entomologica Basiliensia
Herausgeber: Naturhistorisches Museum Basel, Entomologische Sammlungen
Band: 10 (1985)

Artikel: Tingidae nouveaux ou intéressants du Nord du sous-continent indien (Hemiptera). II.
Autor: Péricart, J.
DOI: <https://doi.org/10.5169/seals-980633>

Nutzungsbedingungen

Die ETH-Bibliothek ist die Anbieterin der digitalisierten Zeitschriften. Sie besitzt keine Urheberrechte an den Zeitschriften und ist nicht verantwortlich für deren Inhalte. Die Rechte liegen in der Regel bei den Herausgebern beziehungsweise den externen Rechteinhabern. [Siehe Rechtliche Hinweise.](#)

Conditions d'utilisation

L'ETH Library est le fournisseur des revues numérisées. Elle ne détient aucun droit d'auteur sur les revues et n'est pas responsable de leur contenu. En règle générale, les droits sont détenus par les éditeurs ou les détenteurs de droits externes. [Voir Informations légales.](#)

Terms of use

The ETH Library is the provider of the digitised journals. It does not own any copyrights to the journals and is not responsible for their content. The rights usually lie with the publishers or the external rights holders. [See Legal notice.](#)

Download PDF: 06.02.2025

ETH-Bibliothek Zürich, E-Periodica, <https://www.e-periodica.ch>

Entomologica Basiliensia	10	27-62	1985	ISSN 0253-2484
--------------------------	----	-------	------	----------------

Tingidae nouveaux ou intéressants du Nord du sous-continent indien (Hemiptera). II.

par J. Péricart

Abstract: New or interesting Tingidae from the North of Indian subcontinent (Hemiptera). II. – This paper continues to gather the results of a series of Swiss expeditions to Himalaya mountains and adjacent regions: Assam, Bhutan, Nepal, North India, North Pakistan; some materials from a German mission to Nepal are included. One new genus and ten new species are described, among which eight species coming from Bhutan.

New taxa described: *Stephanitis bhutanensis* n. sp. (Bhutan); *S. wittmeri* n. sp. (India: Darjeeling distr.); *Perissonemia cicadifrons* n. sp. (Bhutan); *Physatocheila bhutanensis* n. sp. (Bhutan); *Ph. similis* n. sp. (Bhutan); *Ph. subgibbosa* n. sp. (Bhutan); *Elasmognathus auriculatus* n. sp. (Bhutan); *Aeipeplus brancuccii* n. sp. (Bhutan); *Eteoneus assamensis* n. sp. (Assam); *Latitingis* n. gen., *amplipennis* n. sp. (India: Darjeeling distr.).

Key words: Hemiptera Tingidae – Himalaya – new species – new records – taxonomy.

Introduction

Les *Tingidae* collectés dans la région himalayenne par les expéditions helvétiques de la dernière décennie ont déjà été objets de plusieurs de mes récentes publications (PERICART 1981, 1983a, 1984). La présente note poursuit l'inventaire du riche matériel recueilli et la description des nouvelles espèces. Elle bénéficie, comme celle de 1984, de deux voyages d'étude effectués en 1984 l'un au British Museum, et l'autre à l'U.S. National Museum de Washington, qui m'ont permis d'examiner la plupart des spécimens-types de *Tingidae* orientaux décrits par W. L. DISTANT au début de ce siècle, et par C. J. DRAKE et coauteurs de 1920 à 1966.

Origines des matériels étudiés

- Les spécimens étudiés proviennent des missions suivantes:
- Bhutan: Naturhistorisches Museum Basel (=NHMB), printemps 1972 (collecteurs non précisés).
 - Népal: W. Wittmer et C. Baroni Urbani, NHMB, printemps 1976; W. Wittmer et M. Brancucci, NHMB, printemps 1977; Bhakta B., NHMB, printemps 1978; A. et Z. Smetana, Département d'Agriculture d'Ottawa, printemps 1982; A. Smetana et I. Löbl, Département d'Agriculture d'Ottawa et Musée d'Histoire Naturelle de Genève, au

- tomne 1983; J. Martens, B. Daams et W. Schawaller, Universität Johann Gutenberg de Mayence, printemps 1983.
- Inde, district de Darjeeling: Bhakta B., NHMB, printemps 1979, printemps 1983; W. Wittmer, NHMB, printemps 1975 et printemps 1976.
 - Inde, Himachal Pradesh: W. Wittmer et M. Brancucci, printemps 1977.
 - Inde, Uttar Pradesh: W. Wittmer, NHMB, printemps 1976, printemps 1978; M. Brancucci, NHMB, printemps 1981.
 - Inde: Assam (inclus Meghalaya): W. Wittmer et C. Baroni Urbani, NHMB, printemps 1976.
 - Inde, Rajasthan: W. Wittmer, printemps 1984.
 - Pakistan (Nord): W. Wittmer, NHMB, 1978 et 1983.

Le nombre d'espèces recensées s'élève à 40, dont 10 nouvelles, l'une représentant un genre nouveau; l'expédition de 1972 en Bhutan a rapporté à elle seule 8 espèces nouvelles.

Résultats des études

Subf. *Cantacaderinae*

***Cantacader diffidentis* Drake & Poor.**

Cantacader diffidentis DRAKE & POOR, 1936, Indian Forest Rec. 2 (5): 141.

Matériel étudié: Inde, Assam: Kaziranga, 75 m, 7–9.V.1976, W. Wittmer & C. Baroni Urbani (5 ex.).– Bhutan: Samchi, 300 m, 7–11.V.1972, NHMB (5 ex.).– Népal: Gorkha, distr. de Dhading, Buri Gandaki, Jagat, «bis gegenüber Pangshing», 1650–1700 m, 31.VII.1983, «Kulturland», J. Martens & W. Schawaller (1 ex.).

Connu de l'Inde et de l'île de Java.

***Phatnoma costalis* Distant**

Phatnoma costalis DISTANT, 1909, Anns Soc. ent. Belg. 53: 113.

Matériel étudié: Bhutan: Phuntsholing, 200–400 m, 5.V.1972, NHMB (5 ex.); idem, 24.IV.1972 (2 ex.); Samchi, 350 m, 7–11.V.1972, NHMB (5 ex.); Balu-Jhura, 200 m, 28.IV.1972, NHMB (1 ex.). – Inde, Assam: Kaziranga, 75 m, 7–9.V.1976, W. Wittmer & C. Baroni Urbani (1 ex.); Assam (Meghalaya): Songsak, Garo Hills, 19.V.1976, W. Wittmer & C. Baroni Urbani (1 ex.); distr. de Darjeeling: Shepkola (P. O. Ryang), 150 m, 2.V.1976, W. Wittmer (1 ex.); distr. de Darjeeling: Goom-Jorbangla, 5.V.1976, W. Wittmer (1 ex.). – Népal: Pokhara, 820 m, 15–18.VI.1976, W. Wittmer & C. Baroni Urbani (1 ex.).

Connue jusqu'à présent de Birmanie et de l'île de Hainan.

Indocader loebli Péricart

Indocader loebli PERICART, 1981, Revue suisse Zool. 88 (3): 597.

Matériel étudié: Inde, distr. de Darjeeling: Tiger Hill, 27.V.–9.VI.1975, W. WITTMER (1 ex.).– Népal, distr. de Khandbari: forêt, N. E. de Kuwapani, 2500 m, 28.III.1982, A. & Z. SMETANA (2 ex.).

La série-type provenait de la région de Darjeeling.

Phatnomella cristata Péricart

Phatnomella cristata PERICART, 1981, Revue suisse Zool. 88 (3): 599.

Matériel étudié: Inde, Assam (Meghalaya): Cherrapunjee, 1200 m, 16.V.1976, W. WITTMER & C. BARONI URBANI (1 ex.).

N'était connue que par l'holotype, provenant du district de Darjeeling.

Subf. **Tinginae****Ammianus erosus** (Fieber).

Monanthia erosa FIEBER, 1844, Ent. Monogr.:71, pl. 6, figs 5–9.

Ammianus erosus DISTANT, 1903, Faun. Brit. Ind. II (Het.): 137.

Matériel étudié: Bhutan: Samchi, 300–450 m, 7–11.V.1972, NHMB (15 ex.).– Népal: Manigow, 1200–1900 m, 10.VI.1978, BHAKTA B. (4 ex.).– Inde, distr. de Darjeeling: Gorco Bathan, 840 m, 21.IV.1973, BHAKTA B. (1 ex.).

Répandu en Indo-Malaisie.

Ammianus ravanus (Kirkaldy).

Sakuntala ravana KIRKALDY, 1902, J. Bombay nat. Hist. Soc. 14: 299.

Ammianus ravanus DRAKE, 1957, Q. Jl Taiwan Mus. 10 (1): 31.

Matériel étudié: Bhutan: Samchi, 300 m, 7–11.V.1972, NHMB (1 ex.). – Inde, distr. de Darjeeling: Homes, 1300 m, 17.IV.1979, Bhakta. B. (1 ex.).

Répandu en Indo-Malaisie.

Stephanitis gallarum Horváth

Stephanitis gallarum HORVATH, 1906, Entomologist's mon. Mag. 42: 33.

Matériel étudié: Inde, distr. de Darjeeling: Lebong, 1600–1860 m, 8.V.1975, W. Wittmer (19 ex.); idem, 1800–1900 m, 11.V.1975 (5 ex.); Mane Bhanjang, Sukhia Pokri, 9.V.1975, W. Wittmer (1 ex.); Lopchu, 1500 m, 3.V.1976, W. Wittmer (2 ex.). – Bhutan: 87 km de Phuntsholing, 21–23.V.1972, NHMB (1 ex.).

Connu d'Inde, Chine et Taiwan.

Stephanitis pyrioides (Scott) sensu lato

Tingis pyrioides SCOTT, 1874; Ann. Mag. nat. Hist., ser. 4, 14: 291.

Stephanitis pyrioides OSHANIN, 1908, Verz. Pal. Hem. I: 425.

Matériel étudié: Bhutan: Nobding, 41 km E de Wangdi-Phodrang, 2800 m, 17–18.VI.1972, NHMB, (3 ex.); Dorjula, alt. 2100 m, 29.VI.1972, NHMB, (1 ex.); Thimphu, 31.V.1972, NHMB, (2 ex.).– Inde, distr. de Darjeeling: Lebong, 1600–1800m, 11.V.1975, W. Wittmer, (5 ex.).– Inde, Uttar Pradesh: Barkot, 1100–1200 m, 5–12.VI.1981, M. Brancucci, (2 ex.).– Népal: Jiri, 1800–1900 m, 27.V.1976, W. Wittmer & C. Baroni Urbani (4 ex.); Godavari, 1500–1700 m, 21.V.1977, W. Wittmer & M. Brancucci (2 ex.); distr. de Taplejung: Kabeli Khola, N. Yamputhin, 1700–2200 m, cultures, buissons, 5.IX.1983, J. Martens & B. Daams (1 ex.); Chichila-Mure, 1950–2000 m, 1.VI.1983, M. Brancucci (1 ex.).

Répandu en Indo-Malaisie et au Japon, introduit en Europe, USA, Argentine, Australie.

Stephanitis sparsa Péricart

Stephanitis sparsa PERICART, 1984, Entomologica Basiliensia 9: 24.

Matériel étudié: Népal: Balaju, 1300–1370 m, 23.V.1977, W. Wittmer & M. Brancucci (5 ex.).

La série-Type provenait d'Inde (Uttar Pradesh).

Stephanitis wittmeri n. sp.

Figs 1–4.

La description ci-après est basée sur 2 spécimens ♂.

Habitus: figure 1. Profil de l'avant corps: figure 2. Glabrescent, les 3 premiers articles antennaires et les pattes pourvus d'une pubescence fine, molle et courte.

Corps noirâtre, surfaces aréolées du dessus à veinules jaune brun plus ou moins sombre; une bande oblique brune en avant du milieu des lames costales des hémélytres, et une fascie subapicale oblique sur chaque hémélytre, dont la réunion forme un Y renversé. Lames marginales du pronotum marquées de brun dans leur région moyenne et postérieure. Mésopleures, bord postérieur des métapleures, buccules et lames sternales jaunâtres. Antennes jaune brun, 4^e article noir sur les $\frac{2}{3}$ apicaux; pattes jaune brun, tarses plus sombres. Bord externe des lames marginales du pronotum et bord externe des lames costales des hémélytres sur leur $\frac{1}{4}$ antérieur, très finement crénelés.

Tête invisible de dessus, cachée par l'ampoule. Front 1.5 fois aussi large que les yeux vus de dessus; deux épines occipitales très fines, appliquées, brunâtres, aussi longues que les yeux; épine médiane un peu plus robuste, jaunâtre, n'excédant pas en longueur le diamètre du 2^e article antennaire; épines frontales rapprochées de la médiane, de même

longueur et couleur que celle-ci mais très fines. Buccules un peu saillantes en avant du clypeus, s'élargissant régulièrement d'avant en arrière. Antennes élancées, 1er article cylindrique, plus long que la largeur du front entre les yeux, 2.5 fois aussi long que le 2^e article qui est un peu conique; 3^e article cylindrique, 3.6 fois aussi long que le diatone et 3 fois aussi long que le 4^e article qui est nettement fusiforme avec un diamètre maximal double de celui du 3^e. Rostre atteignant le bord postérieur du mésosternum.

Pronotum 1.25 fois aussi long que large lames marginales incluses. Ampoule antérieure grande, vue de profil régulièrement arquée en-dessus, vue de dessus pyriforme, régulièrement atténuée dans la moitié antérieure jusqu'à la pointe, 1.5 fois aussi longue que large et à peu près aussi haute que large, son bord postérieur arrivant au niveau du milieu du disque. Lames marginales fortement relevées, quadrisériées, angles antérieurs largement arrondis, angles postérieurs brièvement arrondis. Disque brun, ponctué, convexe. Pas de carènes latérales. Carène médiane 1,1 fois aussi longue que l'ampoule, moins haute que celle-ci, bisériée, à bord supérieur presque rectiligne; une vague tache sombre sur la partie postérieure. Processus postérieur triangulaire, aréolé, les aréoles progressivement plus grandes en arrière qu'en avant.

Hémélytres nettement quoique modérément divergents d'avant en arrière, séparément 2.4 fois aussi longs que larges. Lames costales portant 3–4 rangées d'aréoles polygonales dans la région du sinus antéapical. Aires subcostales bisériées le long des aires discoïdales, unisériées en arrière. Aires discoïdales portant 4 rangées d'aréoles polygonales, nullement ou imperceptiblement démarquées des aires suturales, qui les prolongent en arrière et jusqu'à l'extrémité postérieure et portent 3 rangées de cellules polygonales de plus en plus grandes d'avant en arrière.

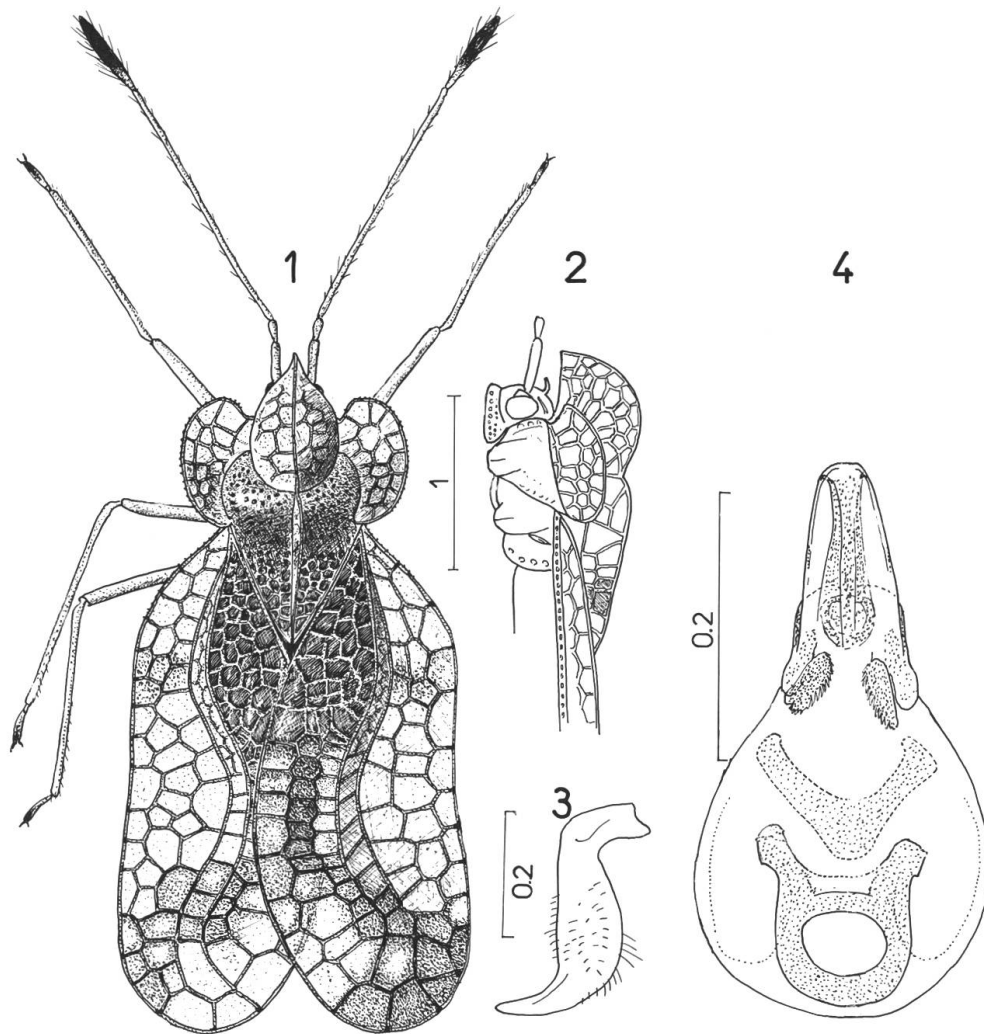
Pattes élancées; protibias 2.5 fois aussi longs que le diatone, métatibias 1.1 fois aussi longs que les protibias.

Gouttières odorifères bien visibles. Lames mésosternales divergentes d'avant en arrière, lames métasternales arquées et fermant postérieurement le canal rostral; métasternum subcordiforme.

♂. Paramères: figure 3; phallus: figure 4.

Longueur: 4.00 mm.

Mensurations de l'holotype ♂ (en mm). Longueur: tête: 0,28; pronotum: 1.70; hémélytres: 2.96; antennes (articles): (I) 0.30– (II) 0.12– (III) 1.60– (IV) 0.53; protibias: 1.10; métatibias: 1.20. Largeur: tête:



Figs 1–4: *Stephanitis wittmeri* n. sp.: 1, habitus du ♂ holotype. 2, profil de l'avant-corps. 3, paramère. 4, phallus (Echelles en mm).

(diatone) 0.44; pronotum: 1.33; hémélytres (ensemble, vers l'apex): 2.10. Dimensions de l'ampoule: longueur 0.80, largeur 0.54.

Types: Holotype ♂ (NHM-Basel) et 1 paratype ♂ (collection de l'auteur): Inde, district de Darjeeling, Ramam, 2450 m, 19.V.1975, W. Wittmer.

Cette espèce se distingue aisément parmi les *Stephanitis* à pronotum unicaréné par sa grande taille, par sa carène médiane moins haute que l'ampoule et à bord supérieur rectiligne et par les proportions de ses articles antennaires.

Stephanitis bhutanensis n.sp.

Figs 5–8.

La description ci-après est basée sur 11 spécimens, soit 2 ♂ et 9 ♀.

Habitus: figure 5. Profil de l'avant-corps: figure 6. Pourvu en-dessus, sur les veinules des aréoles du réseau, de soies dressées éparses très fines, plus visibles sur l'ampoule, la carène et les lames marginales du pronotum, où elles sont à peu près aussi longues que le diamètre longitudinal des yeux.

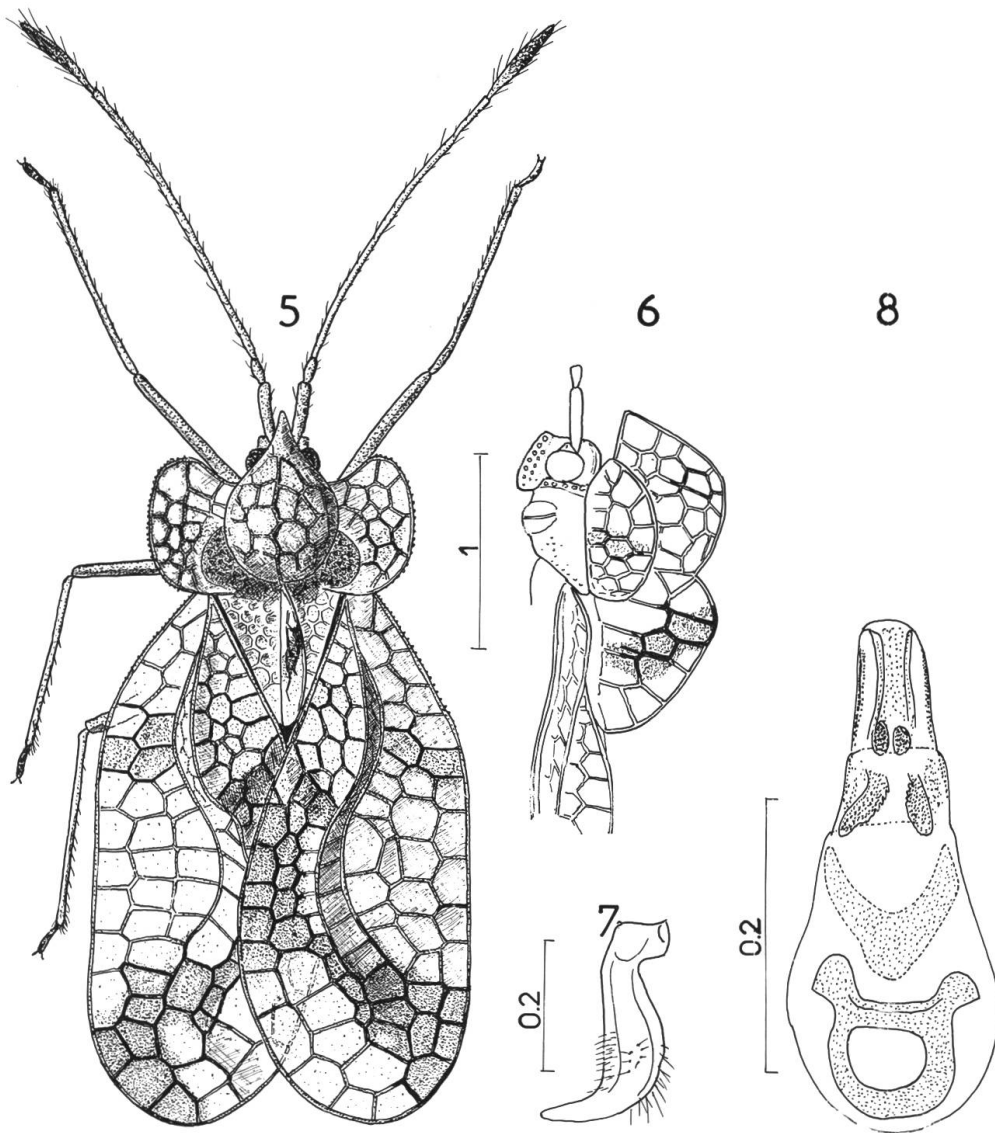
Corps brun sombre à noirâtre, surfaces aréolées du dessus à mailles hyalines, avec une bande sombre en avant du milieu de chaque hémélytre et une fascie sombre oblique dans la région postérieure, les 2 fascies formant par leur réunion un Y renversé; moitié postérieure des lames marginales du pronotum plus ou moins sombre, et une large bande sombre sur la carène médiane; les veinules du réseau sont jaunâtres dans les régions hyalines et brun noir dans les régions sombres. Epines de la tête, tubercules antennifères, buccules, propleures en partie, mésopleures et métapleures jaunâtres ainsi que les lames sternales. Antennes jaunâtres, 4^e article sombre dans sa moitié apicale; pattes jaunâtres à tarsi rembrunis. Bord externe des lames marginales du pronotum et du 1/4 antérieur des hémélytres très finement crénelés.

Tête en grande partie cachée par l'ampoule quand l'insecte est vu de dessus. Front 2.5–3 fois aussi large que les yeux vus de dessus. Epines occipitales très fines, plus ou moins appliquées, parallèles ou convergentes, presque 2 fois aussi longues que les yeux; épine médiane beaucoup plus robuste, mais seulement aussi longue que le diamètre du 1^{er} article antennaire; épines frontales convergentes, rapprochées de la médiane, beaucoup plus fines et un peu plus longues. Buccules à peine saillantes en avant du clypeus. Antennes élancées, proportions des articles identiques à celles de *S. wittmeri* n. sp., 3^e article nettement plus robuste chez le ♂ que chez la ♀, 4^e article en fuseau peu renflé, diamètre maximum inférieur au double du diamètre du 3^e article. Rostre atteignant le bord postérieur du mésosternum.

Pronotum 1.2 fois aussi long que large, lames marginales incluses. Ampoule grande, vue de profil régulièrement arquée en-dessus, vue de dessus pyriforme, dépassant en arrière le niveau du milieu du disque, linéairement ou un peu concavement atténuée en avant jusqu'à la pointe antérieure, 1.35 fois aussi longue que large et 1.2 fois aussi haute que large. Lames marginales comme chez *St. wittmeri* n. sp. Disque brun, ponctué, modérément convexe. Pas de carènes latérales. Carène médiane presque aussi haute et aussi longue que l'ampoule, bord supérieur arqué, aréoles disposées sur 2 ou 3 rangs dans la partie la plus large.

Processus postérieur triangulaire, aréoles plus grandes en arrière qu'en avant.

Hémélytres nettement quoique modérément divergents; pris séparément 2.4 fois aussi longs que leur plus grande largeur. Lames costales trisériées (δ) ou quadrisériées (♀) dans le sinus antéapical. Aires subcostales bisériées le long des aires discoïdales, unisériées en arrière. Aires discoïdales avec 3 rangées de cellules, mal délimitées en arrière d'avec les aires suturales, qui sont trisériées.



Figs 5–8: *Stephanitis bhutanensis* n. sp.: 5, habitus du δ holotype. 6, profil de l'avant-corps. 7, paramère. 8, phallus (Echelles en mm).

Pattes élancées, protibias 2.3 fois aussi longs que le diatone, métatibias 1.1 fois aussi longs que les protibias.

Gouttières odorifères bien visibles. Sillon rostral comme chez *S. wittmeri* n. sp.

♂. Paramères: figure 7; phallus: figure 8.

Longueur: 3.60–3.75 mm; largeur (hémélytres ensemble): 2–2.20mm.

Mensurations de l'holotype ♂ (en mm): – Longueur: tête: 0.24; pronotum: 1.57; hémélytres: 2.80; antennes (articles): (I) 0.29– (II) 0.12– (III) 1.60– (IV) 0.48; protibias: 1.00; métatibias: 1.12. Largeur: tête (diatone): 0.44; pronotum: 1.30; hémélytres (séparément): 1.20.

Types: Holotype ♂ (NHM-Basel) et paratypes (1 ♂ et 9 ♀, NHM-Basel et collection de l'auteur): Bhutan, 21 km Est de Wangdi-Phodrang, 1700–2000 m, 14–16.VI.1972, expédition NHMB.

Ce *Stephanitis*, à pronotum unicaréné, grande ampoule, haute carène pronotale, ne pourrait être confondu qu'avec *St. chinensis* Drake, 1948, et *St. outouana* Drake & Maa, 1953, qui habitent tous deux la Chine méridionale; j'ai vu les holotypes de ces 2 espèces.

Chez *St. chinensis*, le 3^e article antennaire n'est que 2 fois aussi long que le 4^e (au moins 3 fois chez *bhutanensis* n. sp.), les hémélytres ne sont nullement divergents et sont plus densément réticulés, notamment leurs lames costales portent 5 rangées dans l'élargissement post-médian; enfin la taille est nettement plus grande (longueur: 4.15 mm).

Chez *St. outouana*, qui est l'espèce la plus proche de *St. bhutanensis* n. sp. le 3^e article antennaire n'est que 2 fois aussi long que le 4^e, la réticulation des hémélytres est plus dense, à aréoles un peu plus nombreuses, la carène médiane du pronotum est un peu plus haute vue de profil, les hémélytres sont moins allongés, à bord latéral plus arqué.

Lepturga chinai Takeya

Lepturga chinai TAKEYA, 1962, Mushi 36 (5): 74.

Matériel étudié: Bhutan: 87 km de Phuntsholing, 12.V.1972, NHMB (1 ex.); 21 km E de Wangdi Phodrang, 1700 m, 15.VI.1972, NHMB (1 ex.); 18 km S. de Tongsa, Changra, 1900 m, 22.VI.1972 (2 ex.).– Inde, distr. de Darjeeling: Monsong, 1100–1300 m, 6–7.V.1983, Bhakta B. (1 ex.); Uttar Pradesh: Mussoorie, 27.VI.1976, W. Wittmer (1 ex.).

Espèce connue de l'île de Taiwan.

Collinutius alicollis (Walker)

Tingis alicollis WALKER, 1873, Cat. Hem. Het. Brit. Mus. 6: 182.

Collinutius alicollis DISTANT, 1903, Faun. Brit. Ind., II (Het.): 135.

Matériel étudié: Bhutan: Phuntsholing-Thimphu, 1480 m, 22.V.1972, NHMB (1 ex.); 21 km E de Wangdi Phodrang, 1700–2000 m, 14–16.VI.1972, NHMB (1 ex.).

Connu d'Inde et de Chine.

Ildefonsus provorsus Distant

Ildefonsus provorsus DISTANT, 1910, Faun. Brit. Ind., Rhynch. VI: 110.

Matériel étudié: Népal: Phul Choki, 2000 m, 7.VI.1977, W. Wittmer & M. Brancucci (1 ex.); idem, 1500–1600 m, 25.VI.1980, W. Wittmer (1 ex.); idem, 2600 m, 14.X.1983, A. Smetana & I. Löbl (1 ex.); idem, 2700 m, 15.V.1983 (1 ex.); Mure-Num, 1500–1900 m, 25.X.1980, Wittmer (1 ex.); Lamobagar Gao, 1900 m, 28–31.V.1980, W. Wittmer (1 ex.); Chichila-Mure, 1900 m, 24.V.1980, W. Wittmer (1 ex.); distr. de Khandari: «Bakan», W. de Tashigaon, 3200 m, 5.IV.1982, A. & Z. Smetana (1 ex.); distr. de Mustang: 2 km N de Kalopani, 2550 m, 1.X.1983, A. Smetana & I. Löbl, (1 ex.).

Espèce himalayenne endémique.

Tingis buddleiae Drake

Tingis buddleiae DRAKE, 1930, Proc. ent. Soc. Wash. 32 (9): 168.

Matériel étudié: Bhutan: 20 km S de Thimphu, 2300 m, 18.V.1972, NHMB (2 ex.).

Espèce indo-malaise à large distribution.

Tingis coomani Drake

Tingis coomani DRAKE, 1947, Notes Ent. chin. 11 (7): 227.

Matériel étudié: Bhutan: 13 km E de Wangdi Phodrang, Tan Chu, 7.VI.1972, NHMB (5 ex.). – Inde, Uttar Pradesh: Chaubattia, 1900–2100 m, 25.V.1981, M. Brancucci (1 ex.).

Élément connu d'Indochine.

Nota: cette espèce mériterait certainement de constituer, avec *T. tonkiniana* Drake et probablement quelques autres, un sous-genre spécial.

Dasytingis rudis Drake & Poor

Dasyntigris rudis DRAKE & POOR, 1936, Indian Forest Rec. 2 (5): 145.

Matériel étudié: Pakistan: Rawalpindi-Murree, km 27.5, 25.IV.1983, W. Wittmer (1 ex.).

Connu de l'Inde: Chatterjee.

Teleonemia scrupulosa Stål

Teleonemia scrupulosa STÅL, 1873, Kongl. Svensk. Vet-Ak. Handl. 11 (2): 132.

Matériel étudié: Inde, distr. de Darjeeling: Rumshi, 280 m, 21.VII.1978, Bhakta B. (1 ex.). – Népal, distr. de Dhankuta: Tamur Khola, «Eimündung Leonti Khola», 300

m, cultures, 20.IX.1983, J. Martens & B. Daams (2 ex.); distr. de Taplejung: Kabeli Khola, 900–1250 m, «Baumreiches Kulturland, Waldreste, Schlucht», 1.IX.1983, J. Martens & B. Daams (2 ex.).

Élément pan-tropical d'origine sud-américaine.

Perissonemia cicadifrons n. sp.

Figs 9–11.

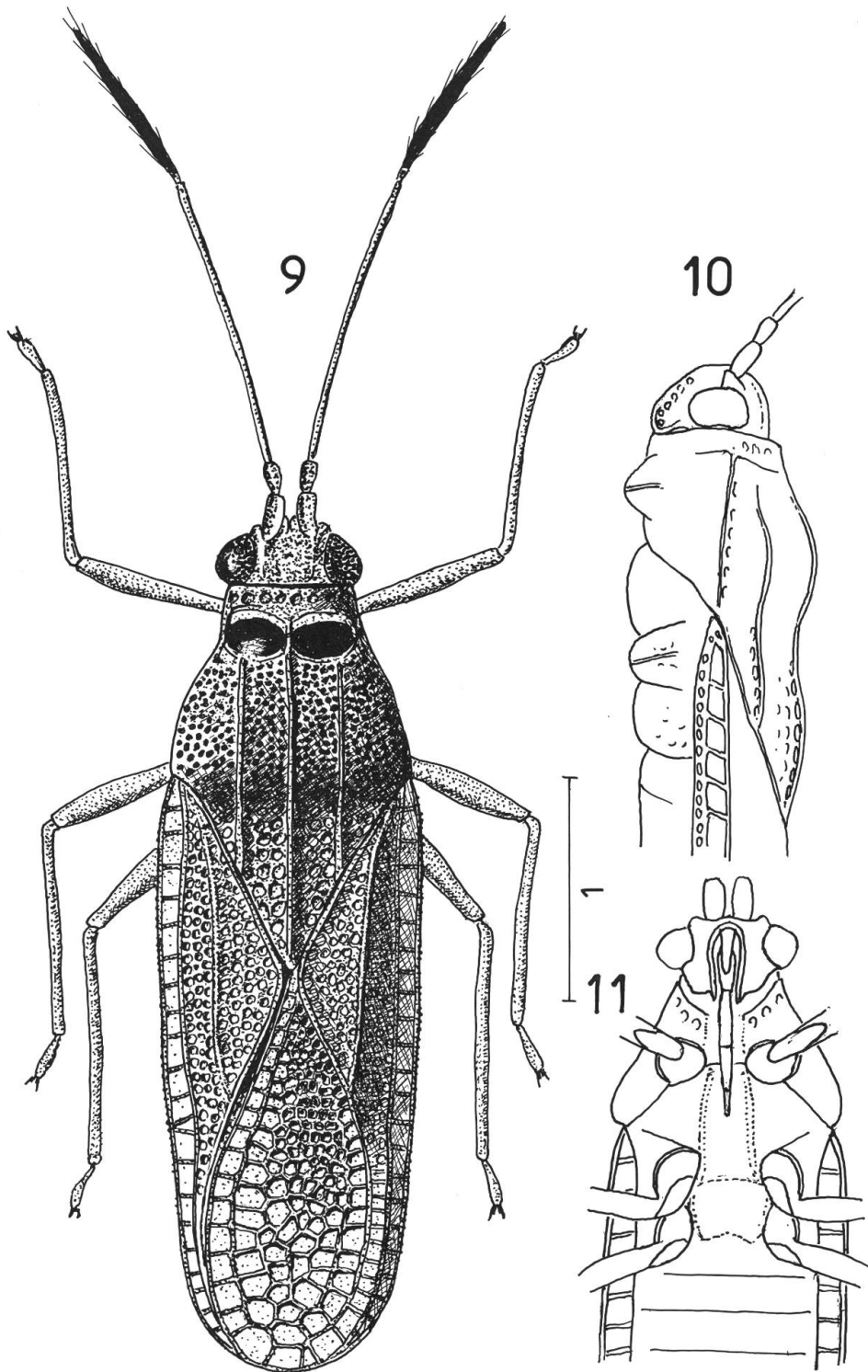
La description ci-après est basée sur une ♀ unique macroptère.

Habitus: figure 9. Profil de l'avant-corps: figure 10. Face ventrale de l'avant-corps: figure 11. Oblongue, entièrement brunâtre uniforme à l'exception du dessus de la tête, des callosités antérieures du pronotum, des mésopleures et du 4^e article antennaire qui sont noirs; moitié apicale des tarsi assombris. Dessus pourvu d'une courte pubescence pâle, fine, un peu soulevée, peu apparente.

Tête brève, subtronquée en avant, yeux gros et saillants; front 2 fois aussi large que ceux-ci. Epines céphaliques représentées par 2 spinules frontales fines, contiguës, pas plus longues que la moitié du 2^e article antennaire: pas d'épine médiane ni d'épines occipitales. Tubercules antennifères très brefs. Buccules courtes (Figs 10,11), soudées en avant. Antennes longues et relativement robustes; 1^e article aussi long que les yeux, 2 fois aussi long que le suivant; 3^e article cylindrique, plus de 2 fois aussi long que le diatone, et 1.5 fois aussi long que le 4^e article qui est très longuement fusiforme. Rostre court, atteignant à peu près le milieu du mésosternum (Fig. 11).

Pronotum, processus postérieur inclus, 1.6 fois aussi long que large. Pas d'ampoule antérieure, mais une collerette simple pourvue d'une rangée d'aréoles rectangulaires plus quelques cellules supplémentaires vers le milieu. Lames marginales représentées seulement par une très petite carène visible seulement de profil. Disque convexe, ponctué, pourvu de 3 côtes caréniformes, plus élevées sur le processus postérieur où elles présentent une rangée de petites aréoles. Processus postérieur en triangle équilatéral, aréolé.

Hémélytres pris ensemble 2.3 fois aussi longs que larges; bords latéraux subparallèles. Lames costales pourvues d'une seule rangée d'aréoles grandes et rectangulaires, nervure externe très finement denticulée. Aires subcostales trisériées. Aires discoïdales relativement petites, ne s'étendant guère au-delà du milieu de l'hémélytre, portant 5 rangées d'aréoles transversalement à leur région la plus large; nervure (R+M) peu saillante, nervure Cu plus élevée. Aires suturales grandes, se recouvrant complètement, pourvues en avant de petites aréoles, et en



Figs 9–11: *Perissonemia cicadifrons* n. sp.: 9, habitus de la ♀ holotype. 10, profil de l'avant-corps. 11, face ventrale de l'avant-corps (Echelle en mm).

arrière de grandes cellules polygonales ou rectangulaires: 8 cellules transversalement à la partie la plus ample.

Pattes relativement élancées, protibias 1.5 fois aussi longs que le diatone.

Sillon rostral large (Fig. 11), peu profond, ouvert en arrière, limité par des lames sternales costiformes peu élevées, divergentes sur le mésosternum, arquées sur le métasternum.

Orifices odorifères invisibles. Sternites abdominaux nullement sillonnés transversalement. ♀. Une ovivalvule bien développée à la base de l'ovipositeur.

Mensurations (en mm). – Longueur: tête 0.29; pronotum 1.71; hémélytres 2.70; articles antennaires: (I) 0.24– (II) 0.12– (III) 1.35– (IV) 0.91; protibias 0.94; métatibias 1.07; longueur totale: 3.80. – Largeur: tête (diatone) 0.65; front entre les yeux 0.34; pronotum 1.06; hémélytres (ensemble) 1.19.

Type: Holotype ♂ (NHM–Basel): Bhutan, Samchi, 350–450 m, 11.V.1972, expédition NHMB.

Parmi les espèces Orientales de *Perissonemia*, *P. cicadifrons* n. sp. se rapproche de *P. onerosa* Drake & Poor, 1939, et de *P. ecmeles* Drake & Mohanasundarum, 1961, qui toutes deux habitent l'Inde, et dont j'ai vu les spécimens holotypes préservés à l'U.S. National Muséum, Washington.

Chez l'holotype (♀) de *P. onerosa*, les yeux sont un peu moins saillants, les antennes un peu plus brèves à 3^e article seulement 1.7 fois aussi long que le diatone, et 4^e article un peu plus largement fusiforme, les hémélytres sont moins allongés, à bords latéraux moins parallèles (rapport longueur/largeur: 2.05).

Perissonemia ecmeles, figurée par DRAKE & RUHOFF (1965, planche 25), est l'espèce la plus proche de *cicadifrons*. Cependant sa forme est plus brève, ses hémélytres plus larges et plus courts (rapport longueur/largeur: 2.00), à bords latéraux nettement arqués et lames costales plus larges.

Ulonemia assamensis (Distant)

Teleonemia assamensis DISTANT, 1903, Anns Soc. ent. Belg. 47:49.

Ulonemia assamensis DRAKE & RUHOFF, 1960, Gt Basin Nat. 20 (1–2): 29.

Matériel étudié: Inde, Assam (Meghalaya): Umtyngar-Cherrapunjee, 16.V.1976, W. Wittmer & C. Baroni Urbani (5 ex.); Shillong, 12.V.1976, W. Wittmer & C. Baroni Urbani (1 ex.).

Elément répandu en Indo-Malaisie.

Nota: Ces spécimens présentent quelques différences minimales avec le spécimen type de Distant, malheureusement unique.

Physatocheila fieberi (Scott)

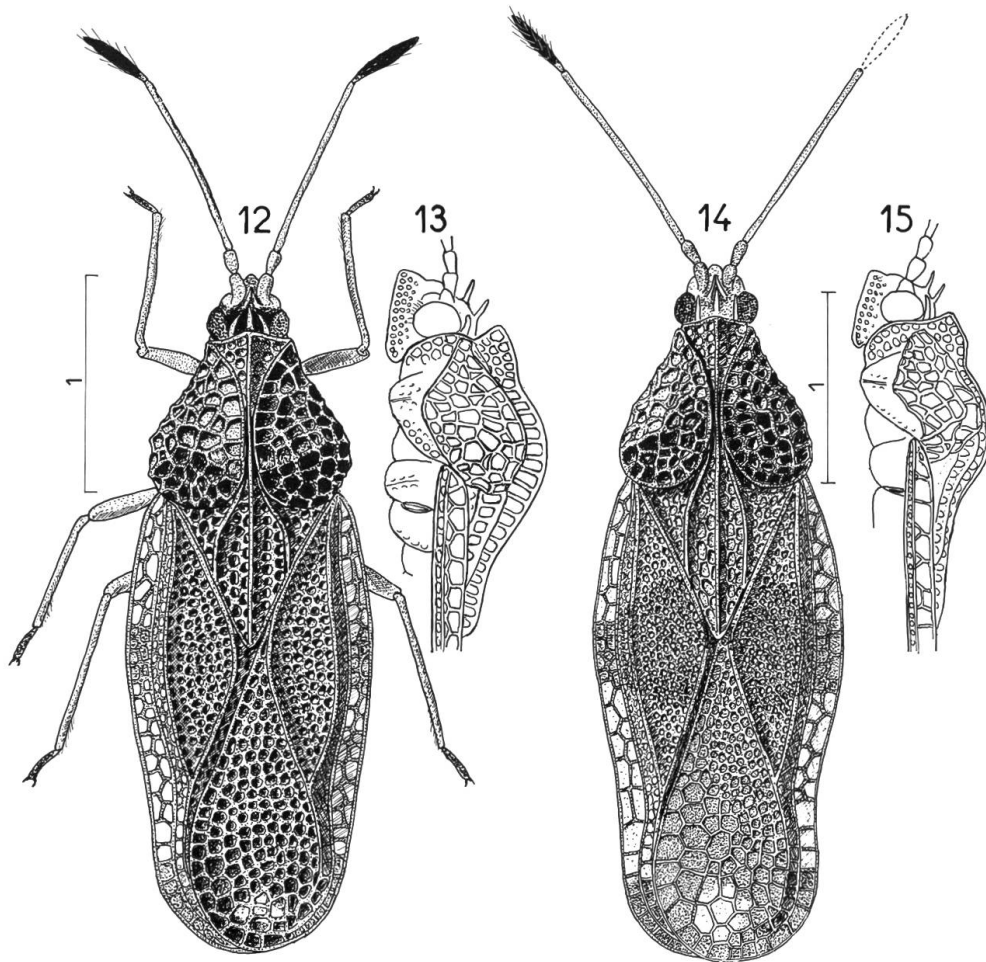
Figs 14, 15, 20.

Monanthia fieberi SCOTT, 1874, Ann. Mag. nat. Hist., ser. 4, 14: 291.

Physatocheila fieberi LETHIERRY & SEVERIN, 1896, Cat. Hém. 3: 21.

Cysteochila fieberi DRAKE & MAA, 1954, Q. Jl Taiwan Mus. 7 (1-2): 112.

Matériel étudié: Bhoutan: 21 km E de Wangdi-Phodrang, 1700 m, 15.VI.1972, NHMB (3 ex.); 87 km de Phuntsholing, 21-23.V.1972, NHMB (1 ex.). – Népal, distr. de Taplejung: «zwischen Amjilosa und Einmündung der Gunsu Khola», 1500-1850 m, «Waldreste», 13.IX.1983, J. Martens & B. Daams (1 ex.).



Figs 12-15: 12-13. *Physatocheila similis* n. sp.: 12, habitus (♀). 13, profil de l'avant-corps. 14-15. *Physatocheila fieberi* (Scott), holotype ♂ du British Museum: 14, habitus. 15, profil de l'avant-corps (Echelles en mm).

Espèce répandue en Inde, Chine, Japon et Taiwan.

Nota: J'ai justifié antérieurement (PERICART 1982: 363) le retour de cette espèce du genre *Cysteochila* au genre *Physatocheila* sensu PERICART (1979, 1983 b). Il est bon également de souligner après DRAKE & RUHOFF (1965) que *fieberi* a été confondue par divers auteurs, à la suite de TAKEYA (1951) avec *Cysteochila chiniana* Drake, espèce bien différente (qui est aussi une *Physatocheila*).

Physatocheila sp. a. pr. **fieberi**.

Matériel étudié: Bhutan: 21 km E de Wangdi-Phodrang, 1700–2000 m, 15–16.VI.1972, NMBH (1 ex.); Kamjee 850 m, 13.V.1972, NMBH (1 ex.).

Diffère de *fieberi* par ses épines céphaliques beaucoup plus courtes, sa coloration presque entièrement sombre avec les tibias clairs.

Physatocheila sp. b. pr. **fieberi**

Matériel étudié: Bhutan: 87 km de Phuntsholing, 22.V.1972, NHMB (1 ex.).

Diffère de *fieberi*, et de *similis* n. sp., par ses épines céphaliques brèves, ses antennes beaucoup plus robustes à 4^e article considérablement plus court.

Ces deux formes devront être revues avec l'appui d'un matériel plus important permettant de prendre en compte la variabilité dans ce groupe.

Physatocheila similis n. sp.

Figs 12,13, 19, 21.

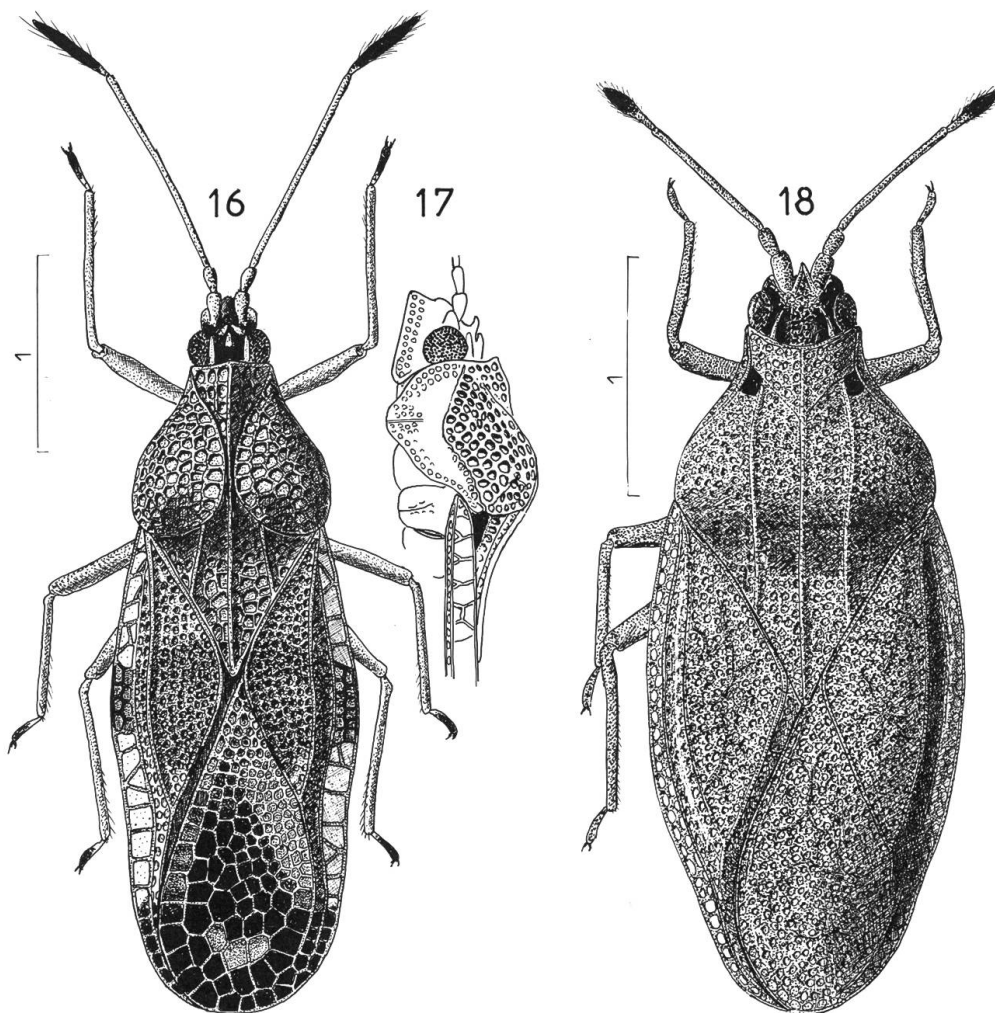
La description ci-après est effectuée d'après 2 ♂ et 6 ♀ macroptères.

Habitus: figure 12. Profil de l'avant-corps: figure 13. Subglabre en-dessus. Brunâtre presque uniforme; dessus de tête noir; tubercules céphaliques, articles I–III des antennes, fémurs et tibias clairs, 4^e article antennaire noir à base souvent éclaircie, tarses rembrunis; mésopleures noires: Une fascie transversale brun sombre plus ou moins accentuée en avant du milieu des hémélytres; région apicale des hémélytres également assombrie.

Front 2–2.3 fois aussi large que les yeux vus de dessus. Epines de la tête assez fines, aiguës ou subaiguës, les occipitales un peu plus longues que les 3 autres; épines occipitales généralement un peu soulevées et arquées vers le bas, parallèles, 1.5 fois aussi longues que le 2^e article antennaire; épine médiane dressée; épines frontales rapprochées, convergentes, dirigées vers l'avant, se touchant au sommet. Antennes élancées, plus longues et plus robustes chez le ♂ que chez la ♀, 3^e article

2.55–2.60 fois (δ) ou 2.20–2.45 fois (φ) aussi long que le diatone, et 2.45–2.70 fois aussi long que le 4^e article. Buccules sensiblement proéminentes en avant du clypeus. Rostre atteignant le $\frac{1}{3}$ postérieur ou l'extrémité postérieure du métasternum.

Pronotum 1.55–1.70 fois aussi long que large. Ampoule en triangle allongé, fortement tectiforme, assez élevée. Lames marginales réfléchies appliquées sur le disque, couvrant la totalité de celui-ci, contiguës le long de la carène médiane; réticulation grossière, très sculptée, formant 7 rangées d'aréoles transversalement; dessus des lames convexe, impressionné sur la déclivité postérieure, cette impression parfois délimitée par une carène transversale post-médiane moins nette que chez



Figs 16–18: 16–17. *Physatocheila bhutanensis* n. sp.: 16, habitus (φ). 17, profil de l'avant-corps. 18. *Physatocheila subgibbosa* n. sp., habitus du δ holotype (Echelles en mm).

Ph. fieberi (Scott). Carène médiane longitudinale plus haute que les lames réfléchies, culminant un peu en arrière du milieu du disque, bisinuée sur le processus postérieur, portant une seule rangée de hautes aréoles rectangulaires. Carènes latérales visibles seulement sur le processus triangulaire postérieur, et dans cette région presque aussi élevées que la médiane, unisériées, presque parallèles en arrière, puis fortement sinuées-convergentes en avant du processus et presque tangentes à la carène médiane à l'endroit où elles disparaissent le long du rebord des lames réfléchies. Processus postérieur à peine plus long que large à la base.

Hémélytres pris ensemble 2.1–2.15 fois (♂) ou 1.9–2.0 fois (♀) aussi longs que larges, avec leur plus grande largeur en avant du milieu, et les côtés ensuite légèrement sinués-atténués vers le $\frac{1}{3}$ postérieur. Lames costales portant 2 rangées de grandes aréoles polygonales, enfumées sur la bande sombre antémédiane. Aires subcostales avec 2 rangées de petites aréoles. Aires discoïdales atteignant les $\frac{2}{3}$ de la longueur des hémélytres, portant 7–8 rangées de petites cellules polygonales dans leur partie la plus large. Aires suturales grandes, se recouvrant complètement, dépassant l'abdomen presque du $\frac{1}{3}$ de la longueur des hémélytres; aréoles un peu plus petites dans la région antérieure et interne que dans la partie postérieure et externe; aréoles de la région postérieure enfumées, notamment celles de la bordure apicale; une tache claire antéapicale diffuse, peu visible.

Gouttières odorifères bien visibles. Lames mésosternales légèrement arquées; lames métasternales plus ou moins arquées vers le $\frac{1}{3}$ antérieur; métasternum de la même largeur que le mésosternum ou un peu plus large que celui-ci.

♂. Paramères: figure 21; phallus: figure 19; endosome du phallus pourvu à sa base de 2 épines divergentes simples. ♀. Une ovivalvule à la base de l'ovipositeur.

Longueur: 3.06–3.45 mm; largeur: 1.0–1.18 mm.

Mensurations de l'holotype ♂ (en mm): Longueur: tête: 0.24; pronotum: 1.52; hémélytres: 2.30; articles antennaires: (I) 0.14– (II) 0.12– (III) 1.00– (IV) 0.37; protibias: 0.72. Largeur: tête (diatone): 0.36; front entre les yeux 0.19; pronotum: 0.90; hémélytres (ensemble): 1.10.

La série-type de *Ph. similis* a été collectée en Inde (Uttar Pradesh) et au Bhutan.

Holotype ♂ (NHM-Basel): Bhutan, route Sampa-Kokota, 1400–2600 m, 13.VI.1972, expédition, NHMB. Allotype ♀ (NHM-Basel) et 2

paratypes ♀ (NHM Basel et collection de l'auteur): Bhutan, 21 km Est de Wangli-Phodrang, 1700 m, 15.VI.1972, expédition NHMB. 3 paratypes ♀ (NHM-Basel et collection de l'auteur): Uttar-Pradesh, Bhowall, 1500–1600 m, 12.V.1978, W. Wittmer. 1 paratype ♂ (NHM-Basel): Bhutan, 87 km de Phuntsholling, 22.V.1972, expédition NHMB.

Cette *Physatocheila*, voisine de *Ph. fieberi* (Scott), 1874, (Figs 14, 15), en diffère outre sa taille plus petite, par les 3 carènes du pronotum nettement plus élevées sur le processus postérieur, par la réticulation plus dense de la moitié postérieure des aires suturales dont la coloration est presque uniforme, la tache claire antéapicale à peine discernable, enfin les lames réfléchies du pronotum plus arrondies en-dessus: celles de *Ph. fieberi* ont une carène transversale postmédiane qui leur donne un profil anguleux (Fig. 15). En outre, le phallus de *Ph. fieberi* (Fig. 20) possède à la base de l'endosome 2 grandes épines courbées dont la partie proximale porte de nombreuses petites dents spinuliformes; les paramères (Fig. 22) sont aussi un peu différents de ceux de *Ph. similis*.

Physatocheila similis n. sp. s'éloigne de *Ph. bhutanensis* n. sp. par les caractères indiqués dans la description de cette dernière. *Physatocheila chiniana* (Drake), 1942, espèce d'Extrême-Orient, est de même taille que *similis* mais moins élancée; les lames marginales réfléchies de son pronotum sont plus finement réticulées, plus convexes en-dessus et plus élevées que la carène médiane qui est souvent invisible vers le sommet du disque.

***Physatocheila bhutanensis* n. sp.**

Figs 16, 17, 23.

La description ci-après est basée sur 1 ♂ et 3 ♀ macroptères.

Habitus: figure 16. Profil de l'avant corps: figure 17. Coloration du dessus variée de brun sombre et de brun jaunâtre; tête noire, antennes brun clair sauf 4^e article noir à base éclaircie; patte brun clair, tarsi assombris apicalement.

Front 2–2.7 fois aussi large que les yeux vus de dessus. Epines de la tête brun clair, peu arquées, les 2 occipitales parallèles, appliquées, atteignant le niveau du bord antérieur de l'oeil, plus longues que le 1^{er} article antennaire, la médiane beaucoup plus petite, à peine aussi longue que la moitié du 2^e article antennaire, recourbée en avant et touchant presque la base des deux frontales qui sont rapprochées, convergentes et contiguës au sommet, et pas plus longues que la médiane. Antennes élancées, sensiblement plus grandes chez le ♂ que chez la ♀, 3^e article 3.1 fois (♂) ou 2.5–2.6 fois (♀) aussi long que le diatone et 2.5–

2.65 fois aussi long que le 4^e article. Buccules brun sombre en avant, éclaircies en arrière, plus ou moins proéminentes au-delà du clypeus. Rostre atteignant le milieu du métasternum.

Pronotum 1.5–1.6 fois aussi long que large. Ampoule comme chez *Ph. similis* n. sp., brun clair ainsi que le processus postérieur du pronotum. Lames marginales réfléchies de même couleur, beaucoup plus finement réticulées que chez *Ph. similis*. Carène médiane peu élevée, unisériée, ne dépassant nullement les lames réfléchies en vue de profil. Carènes latérales convergentes d'arrière en avant sur le processus postérieur, très peu élevées, unisériées, visibles seulement jusque vers le milieu de la déclivité postérieure, puis disparaissant sous les lames réfléchies.

Hémélytres pris ensemble 1.9–2.2 fois aussi longs que larges, largeur maximale en avant du milieu, bords latéraux nettement bisinués dans le $\frac{1}{3}$ apical. Une large bande sombre en avant du milieu sur les lames costales, prolongée et élargie mais moins tranchée sur les aires discoïdales. Aires suturales largement claires le long du bord interne, et le reste brun très sombre à veinules plus claires; une tache claire occupe 3–4 cellules dans la région subapicale. Lames costales avec une seule rangée de grandes cellules rectangulaires sauf sur la bande sombre où cette rangée se dédouble. Aires subcostales bisériées. Aires discoïdales avec 7–9 rangées d'aréoles dans la région la plus large. Aires suturales portant des aréoles petites et denses dans la partie claire postéro-interne, et de grandes cellules rectangulaires sur le reste de leur étendue: 6–7 grandes aréoles transversalement à la partie la plus ample.

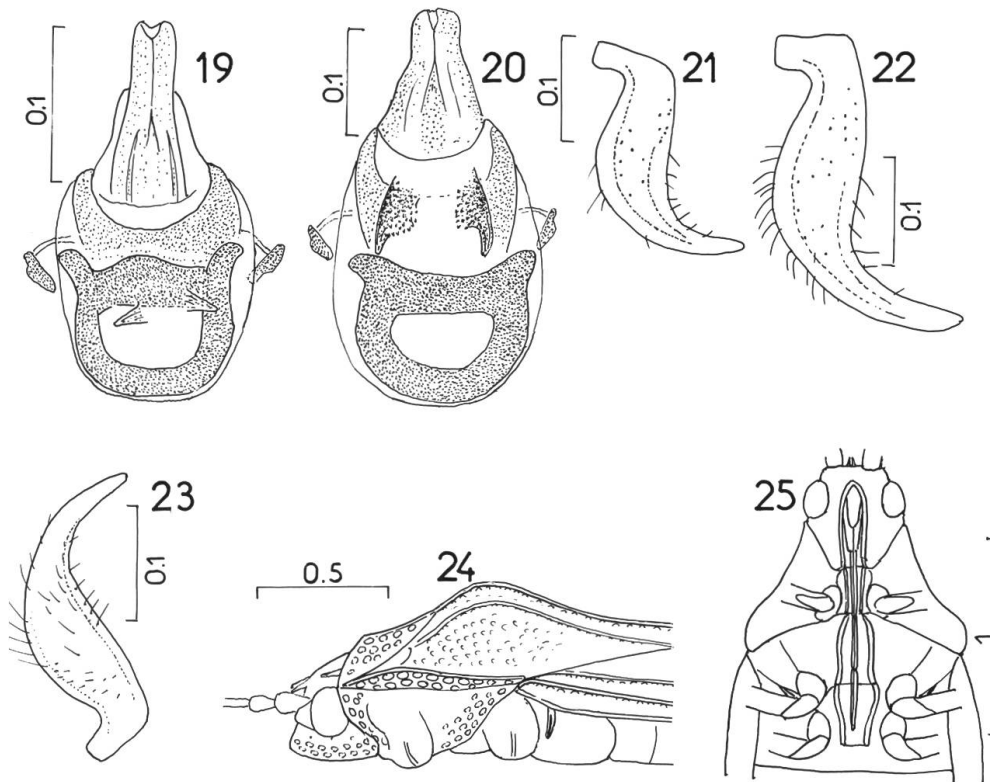
Lames mésosternales subparallèles sur leur moitié postérieure, lames métasternales un peu arquées sur leur $\frac{1}{3}$ antérieur, à peine plus écartées que les lames mésosternales. ♂. Paramères: fig. 23. ♀. Une ovi-valvule bien développée à la base de l'ovipositeur.

Longueur: 3.6–3.7 mm.

Mensurations de l'holotype ♂ (en mm): Longueur: tête: 0.24; pronotum: 1.54; hémélytres: 2.60; antennes (articles): (I) 0.16– (II) 0.13– (III) 1.28– (IV) 0.48; protibias 0.73; longueur totale: 3.60. Largeur: tête (diatone) 0.41; front entre les yeux: 0.21; pronotum: 0.98; hémélytres (ensemble): 1.16.

Types: Holotype ♂ (NHM-Basel) et 1 paratype ♀ (collection de l'auteur): Bhutan, 21 km Est de Wangdi-Phodrang, 1700 m, 15.VI.1972. 2 paratypes ♀ (NHM-Basel et collection de l'auteur): même localité, l'un 25.VI.1972, l'autre sans indication de date.

Cette espèce est très voisine de *Ph. fieberi* (Scott), 1874, (Figs 14, 15) et de *Ph. similis* n. sp. Elle diffère de ces deux espèces par les 3 épines céphaliques antérieures très courtes et les lames costales hémélytrales unisériées. Elle se différencie en outre de *Ph. similis* n. sp. par sa taille plus grande, les carènes de son pronotum très peu élevées, et la réticulation des aires suturales différente.



Figs 19–25: 19–20. Phallus du ♂ de : 19, *Physatocheila similis* n. sp. 20, *Ph. fieberi* SCOTT. 21–23. paramère du ♂ de: 21, *Ph. similis*. 22, *Ph. fieberi*. 23, *Ph. bhtanensis* n. sp. 24–25. *Physatocheila subgibbosa* n. sp.: 24, profil de l'avant-corps. 25, face ventrale (Echelles en mm).

***Physatocheila subgibbosa* n. sp.**

Figs 18, 24, 25.

La description ci-après est basée sur 1 ♂ et 1 ♀ submacroptères.

Habitus: figure 18. Profil de l'avant corps: figure 24. Face ventrale de l'avant corps: figure 25. Oblongue, atténuée en avant et en arrière, un peu gibbeuse vue de profil. Dessus entièrement brunâtre avec la tête noire; pattes et antennes brunâtres, le 4^e article antennaire noir dans sa moitié apicale. Quelques veinules brun sombre irrégulières sur les hémélytres. Subglabre.

Tête déprimée en-dessus, yeux peu saillants, front 2.6–2.8 fois aussi large que les yeux vus de dessus. Epines cépaliqes jaune brunâtre, appliquées, les 2 frontales rapprochées, convergentes, se touchant en avant, à peu près aussi longues que le 2^e article antennaire; la médiane complètement nulle, les 2 occipitales pas plus longues que les frontales, naissant près du bord postéro-interne de l'œil et dirigées obliquement vers l'avant en s'éloignant du globe oculaire, leur extrémité apicale ne dépassant pas le niveau du milieu de l'œil. Buccules peu élevées, un peu saillantes en avant du clypeus. Antennes brèves, 1^{er} article pas plus long que son diamètre; 2^e article à peine plus court que le 1^{er} mais moins robuste; 3^e article cylindrique, pas plus mince chez la ♀ que chez le ♂, 1,25 fois (♂) ou 1,20 fois (♀) aussi long que le diatone et 2.1–2.15 fois aussi long que le 4^e article. Rostre atteignant presque le bord postérieur du métasternum.

Pronotum 1.45 fois aussi long que large. Lames marginales réfléchies régressées, très étroites, complètement appliquées, incomplètement visibles de dessus dans leur partie postérieure, portant une seule rangée d'aréoles en avant et en arrière, 1–2 rangées vers le milieu. Ampoule antérieure presque déprimée, à carène médiane à peine saillante, bord antérieur largement échancré en arc et découvrant complètement la partie postérieure du front. Disque très convexe, densément ponctué sauf sur les callosités qui sont noires. Carènes longitudinales bien nettes mais nullement aréolées, à peu près parallèles sur toute leur longueur. Processus postérieur en triangle à peu près équilatéral.

Hémélytres pris ensemble 1.57 fois (♂) et 1.63 (♀) aussi longs que larges, convexes transversalement et aussi longitudinalement dans leur moitié postérieure. Lames costales étroites, avec 2 rangées d'aréoles irrégulières, celles de la rangée interne plus petites sauf en avant et dans le sinus antéapical. Aires subcostales assez larges, bisériées en avant, trisériées vers le milieu, les aréoles petites. Aires discoïdales atteignant les $\frac{2}{3}$ de la longueur hémélytrale, mal délimitées du côté externe d'avec les aires subcostales, la nervure (R+M) presque effacée; aréolation fine et superficielle comme sur les aires subcostales, environ 10–11 rangées transversalement à la partie la plus large. Aires suturales se recouvrent complètement, un peu convexes longitudinalement; on compte 12–14 cellules transversalement à la partie la plus ample.

Pattes relativement courtes et robustes. Protibias 1.2 fois aussi longs que le diatone, métatibias 1.25 fois aussi longs que les protibias.

Sillon rostral thoracique ouvert en arrière, lames mésosternales très légèrement divergentes d'avant en arrière, lames métasternales bi-

sinuées, le sillon rostral s'élargissant d'abord très légèrement puis se rétrécissant jusqu'à l'extrémité postérieure, où il est presque 2 fois plus étroit qu'en avant. Gouttières odorifères visibles. Sternites IV à VIII (♂) ou IV à VII (♀) avec un sillon transversal sur toute leur largeur, sternite III faiblement sillonné.

♀. Une très petite ovivalvule à la base de l'oviposteur.

Longueur: 3.15 mm; largeur: 1.32 mm.

Mensurations de l'holotype ♂ (en mm): Longueur: tête: 0.29; pronotum: 1.50; hémélytres: 2.08; antennes (articles): (I) 0.135– (II) 0.12– (III) 0.60– (IV) 0.29. Largeur: tête (diatone): 0.48; pronotum: 1.06; hémélytres (ensemble): 1.32.

Types: Holotype ♂ (NHM-Basel) et paratype ♀ (collection de l'auteur): Bhutan, Chimakothi, 22.V.1972, expédition NHMB.

Cette *Physatocheila* est très remarquable par sa tête déprimée à yeux peu saillants, épine médiane nulle, par son pronotum à lames marginales très régressées, son aspect gibbeux vu de profil. Elle paraît isolée dans la faune orientale.

Cystochila delineata (Distant)

Bredenbachius delineatus DISTANT, 1909, Anns Soc. ent. Belg. 53: 119.

Cystochila delineata DRAKE, 1933, J. Bombay Nat. Hist. Soc. 36 (4): 1015.

Matériel étudié: Inde, Assam: Kaziranga, 75 m, 7–9.V.1976, W. Wittmer & C. Baroni Urbani (2 ex.).

Espèce répandue en Inde.

Cystochila euthenia Drake & Ruhoff

Cystochila euthenia DRAKE & RUHOFF, 1965, Pacif. Ins. 7 (2): 254.

Matériel étudié: Népal, distr. de Taplejung: Kabela Khola, 900–1250 m, «Baumreiches Kulturland, Waldreste, Schlucht», 1.IX.1983, J. Martens & B. Daams (1 ex.).

Connue auparavant du Nord de Bornéo. Ce spécimen du Népal ne paraît pas différer des paratypes de Bornéo que j'ai vus à l'U.S. National Museum.

Heissiella dryadis (Drake & Poor)

Physatocheila dryadis DRAKE & POOR, 1936, Indian Forest Rec. 2 (5): 143.

Heissiella dryadis PERICART, 1984, Entomologica Basiliensia 9: 30.

Matériel étudié: Inde, province d'Himachal Pradesh: Simla-Kufri, 4.V.1977, W. Wittmer & M. Brancucci (1 ex.). – Népal: Phul Choki, 2000 m, 7.VI.1977, W. Wittmer & M. Brancucci (1 ex.).

Connue antérieurement d'Inde (Uttar Pradesh) et de Cachemire.

Trachypeplus jacobsoni Horváth

Trachypeplus jacobsoni HORVATH, 1926, Treubia 8 (34): 330.

Matériel étudié: Inde, Assam: Kaziranga, 75 m, 7–9.V.1976, W. Wittmer & C. Baroni Urbani (2 ex.).

Répandu en Indo-Malaisie.

Baeochila elongata (Distant)

Cysteochila elongata DISTANT, 1903, Annl. Soc. ent. Belg. 47: 49.

Baeochila elongata DRAKE, 1948, Proc. biol. soc. Washington 61: 151.

Matériel étudié: Inde, Assam (Meghalaya): Darugiri, Garo Hills, 450 m, 19.V.1976, W. Wittmer & C. Baroni Urbani (1 ex.).

Connue en Inde, Assam, Birmanie et Taiwan.

Hurdchila mira (Drake & Poor)

Jannaeus mirus DRAKE & POOR, 1936, Lingnan Sci. J. 15(3): 442.

Hurdchila mira DRAKE, 1953, Gt Basin Nat. 13(3–4): 93.

Matériel étudié: Bhutan: Samchi, 300 m, 7–11.V.1972, NHMB (1 ex.). Inde, Assam: Kaziranga, 75 m, 7–9.V.1976, W. Wittmer & C. Baroni (1 ex.); distr. de Darjeeling, Goom-Jorbangla, 5.V.1976, W. Wittmer (2 ex.).

Connue jusqu'à présent des îles de Ceylan et de Hainan.

Nota: J'ai étudié comparativement cette espèce avec *H. togularis* Drake & Poor, et *H. lewisi* (Scott) (= *Cochlochila lewisi* auct.), et donné des illustrations: (voir PERICART, 1985).

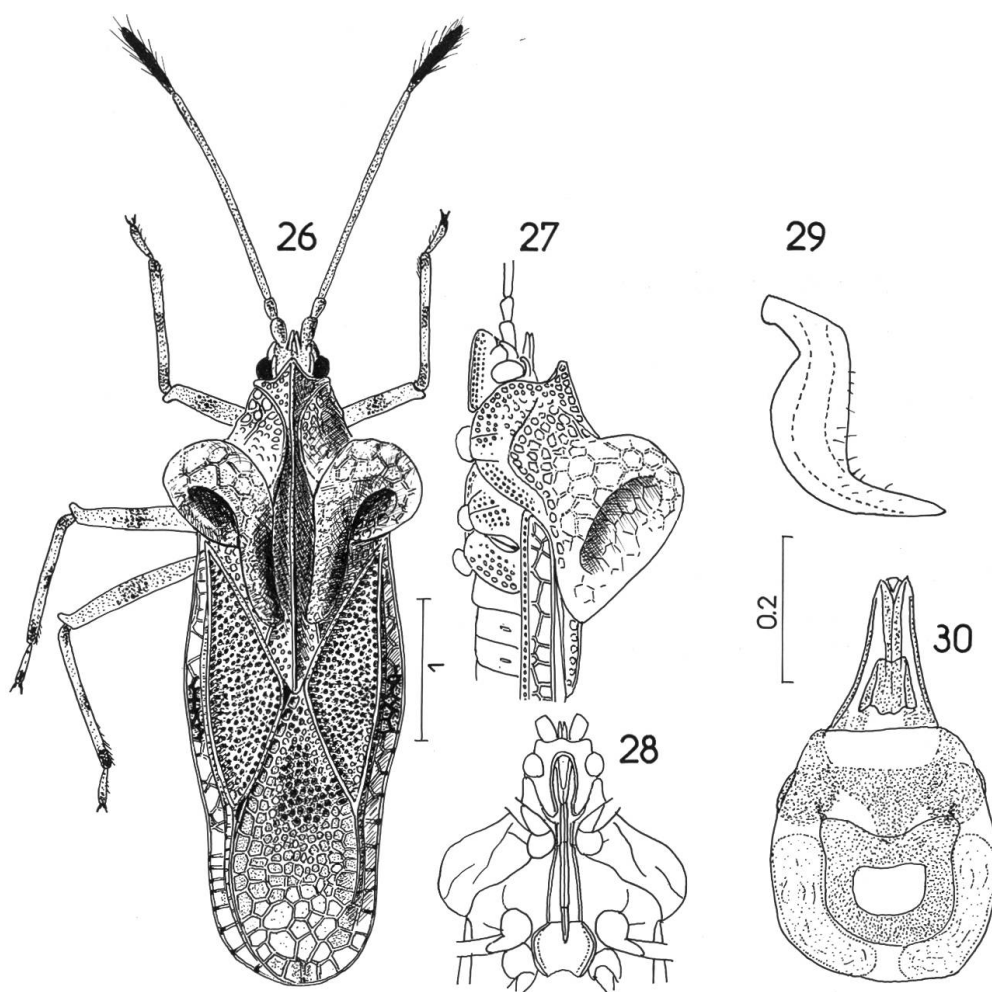
Elasmognathus auriculatus n. sp.

Figs 26–30.

La description ci-après est basée sur 3 ♂ macroptères.

Habitus: figure 26. Profil de l'avant-corps: figure 27. Face ventrale de l'avant-corps: figure 28. Allongé, subglabre, coloration jaune brunâtre clair variée de brun. Remarquable par les proéminences auriculiformes du pronotum.

Tête jaunâtre, front 2.5–3.2 fois aussi large que les yeux vus de dessus. Epines céphaliques bien développées, peu aiguës, les 2 occipitales appliquées, parallèles, aussi longues que le 1er article antennaire, la médiane et les 2 frontales rapprochées, dirigées vers l'avant, se touchant parfois à l'apex, un peu plus courtes que les occipitales. Tubercules antennifères arqués vers l'intérieur (vus de dessus) et courbés en crochet vers le bas (vus de profil: fig. 27). Antennes longues et robustes; 1er article 1.5 fois aussi long que le 2^e et un peu plus gros que celui-ci; 3^e article cylindrique, 2.75–3.3 fois aussi long que le diatone et 2.5–



Figs 26–30: *Elasmognathus auriculatus* n. sp.: 26, habitus (♂). 27, profil de l'avant-corps. 28, face ventrale de l'avant-corps. 29, paramère du ♂. 30, phallus (Echelles en mm).

2.85 fois aussi long que le 4^e, qui est faiblement fusiforme; 1^{er} à 3^e articles jaunâtres, 4^e noir à base éclaircie. Buccules jaunâtres, soudées antérieurement, un peu proéminentes en avant. Rostre atteignant le tiers antérieur du métasternum.

Pronotum entièrement jaune brunâtre, 1,3 fois aussi long, processus postérieur compris, que large. Ampoule antérieure fortement tectiforme, le milieu de son bord antérieur avancé en lobe triangulaire au-dessus du front. Lames marginales réfléchies sur le disque et formant de hautes protubérances soulevées très au-dessus de la surface discale et dont la partie postéro-externe se creuse profondément en forme de pavillon auriculaire; bords de ces lames, côté interne, contigus vers le

tiers antérieur, puis un peu écartés, laissant voir en partie la surface discale convexe et ponctuée qu'elles surplombent. Carène médiane peu élevée, unisériée, visible sur toute la longueur. Carènes latérales très brèves, présentes seulement sur la partie du processus postérieur non envahie par les protubérances des lames marginales. Partie libre du processus triangulaire postérieur aréolée.

Hémélytres pris ensemble 2.1 fois aussi longs que larges, élargis modérément de la base jusqu'en avant du milieu, ensuite un peu atténués avec une sinuosité antéapicale nette. Coloration jaune brunâtre, avec une bande transversale sombre antémédiane visible surtout sur les lames costales, et quelques zones sombres sur les aires suturales, où subsiste antéapicalement une tache claire qui occupe 5–7 cellules. Lames costales très redressées en avant, irrégulièrement bisériées sur les $\frac{2}{3}$ antérieurs, unisériées en arrière, les cellules rectangulaires, triangulaires ou polygonales, plus petites sur la bande sombre. Aires subcostales régulièrement bisériées en avant, unisériées sur le $\frac{1}{3}$ postérieur. Aires discoïdales à réseau très dense de petites aréoles formant environ 9 rangées transversalement à leur partie la plus large. Aires suturales larges, se recouvrant complètement, aréoles petites et denses en avant, grandes et polygonales en arrière.

Pattes robustes. Fémurs jaunâtres avec un anneau sombre peu net au milieu et une ligne de points noirs sur la face ventrale; lobe articulaire apical redressé vers l'extérieur et formant une robuste saillie. Tibias jaunâtres assombris au milieu et aux deux extrémités. Tarses assombris apicalement.

Dessous brun jaunâtre, mésopleures brun sombre. Sillon mésosternal profond, lames mésosternales assez élevées, rapprochées, un peu divergentes d'avant en arrière; métasternum cordiforme, considérablement plus large que le mésosternum, lames métasternales arquées; sillon rostral ouvert en arrière (Fig. 28). Gouttières odorifères bien développées (Fig. 27).

♂. Paramère: figure 29; phallus: figure 30.

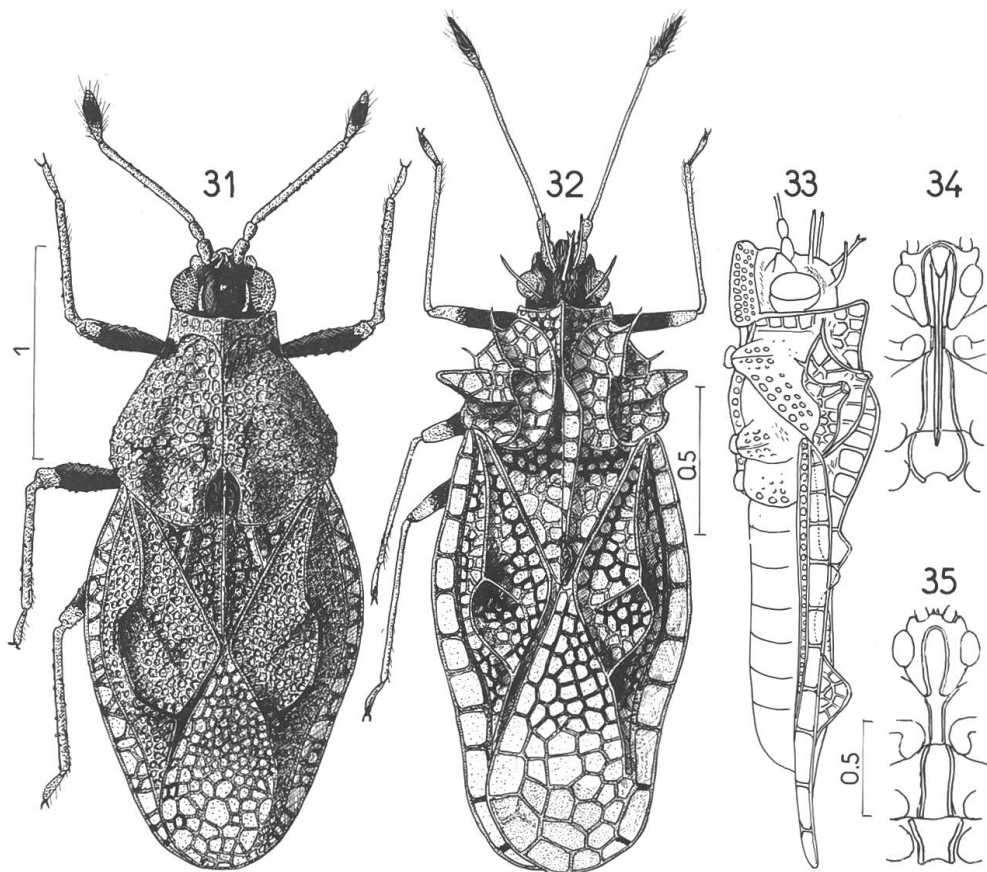
Longueur: 4.5–4.6 mm.

Mensurations de l'holotype ♂ (en mm): Longueur: tête (partie visible): 0.35; pronotum 2.20; hémélytres: 3.25; antennes (articles): (I) 0.22– (II) 0.14– (III) 1.58– (IV) 0.60; protibias: 1.07; métatibias: 1.20; métafémurs: 1.20; longueur totale: 4.60. Largeur: tête (diatone): 0.53; front entre les yeux: 0.31; pronotum: 1.84; hémélytres: 1.54.

Types: Holotypes ♂ (NHM-Basel) et 1 paratype ♂ (collection de l'auteur): Bhutan, Samchi, 300–450 m, 7–11.V.1972, expédition NHMB.

1 paratype ♂ (NHM-Basel): Bhutan, Phuntsholing, 200–400 m, 25.IV.1972, expédition NHMB.

Deux espèces étaient jusqu'à présent connues dans le genre *Elasmognathus*, *E. helferi* Fieber, 1844, et *E. fieberi* Stål, 1855. Chez *E. fieberi*, d'Afrique méridionale, les expansions du pronotum sont, d'après le dessin que donne DISTANT (1902), comparables à celles d'*E. auriculatus* n. sp., mais les lames costales des hémélytres semblent étroites et unisériées, et la réticulation des aires discoïdales est moins fine si le dessin est exact. Chez *E. helferi* décrit d'Inde orientale, figuré par FIEBER (1.c., 1844) et par un très beau dessin de DRAKE & DAVIS (1960, Fig. 55), les expansions des lames du pronotum sont considérablement plus saillantes latéralement et plus ouvertes postérieurement, les lames costales nettement plus larges et en partie trisériées, les antennes moins longues, les pattes plus brèves et plus robustes.



Figs 31–35: 31. *Dictyla seorsa* (Drake & Poor), habitus. 32–33. *Dictyla lupata* (Drake & Poor): 32, habitus. 33, profil. 34. *Dictyla lupata* Drake & Poor, sillon rostral. 35. *Dictyla seorsa* (Drake & Poor), sillon rostral (Echelles en mm).

Dictyla lupata (Drake & Poor). Figs 32–34.*Monanthia lupata* DRAKE & POOR, 1936, Indian Forest Rec. 2(5): 142.*Dictyla lupata* DRAKE & RUHOFF, 1960, Proc. U.S. natn Mus. 112: 51.

Matériel étudié: Inde, Uttar Pradesh: Dimli Pass, Sivalik Hills, 26.VI.1976, W. Wittmer (1 ex.).

Habitus: figure 32. Profil: figure 33. Canal rostral: figure 34.

Connue jusqu'à présent du Pakistan occidental.

Dictyla seorsa (Drake & Poor) Figs 31, 35, 40.*Monanthia seorsa* DRAKE & POOR, 1937, Iowa St. coll. J. Sci. 11(4): 398.*Dictyla seorsa* DRAKE & RUHOFF, 1960, Proc. U.S. natn Mus. 112: 51.

Matériel étudié: Inde, Uttar Pradesh: Dimli Pass, Sivalik Hills, 26.VI.1976, W. Wittmer (4 ex.).

Habitus: figure 31. Profil: figure 40. Canal rostral: figure 35.

Connue jusqu'à présent d'Inde, Chine et Taïwan.

Dictyla nassata (Puton)*Monanthia nassata* PUTON, 1874, Pet. nouv. ent., 6^e Année, 109: 436.*Dictyla nassata* DRAKE & RUHOFF, 1960, Proc. U.S. natn. Mus. 112: 51.

Matériel étudié: Inde, Assam: Kaziranga, 75 m, 7–9.V.1976, W. Wittmer & C. Baroni Urbani (1 ex.); Cachemire: Yusmarg, 2300–2400 m, 5.VII.1976, W. Wittmer (1 ex.); Rajasthan: Biselpur, 30 km NE de Jodhpur, 23.II.1984, W. Wittmer (1 ex.).

Elément Sud-paléarctique, éthiopien et indo-malais.

Aeipeplus brancuccii n. sp. Figs 36–39.

La description ci-après est basée sur 1 ♂ unique, macroptère.

Habitus: figure: 36. Profil de l'avant-corps: figure 38. Face ventrale de l'avant-corps: figure 39. Ovale allongé. Corps subglabre portant des microtubercules dispersés, notamment sur les lames marginales du pronotum, les bords latéraux des hémélytres, les 3 premiers articles antennaires, les fémurs et les tibias, ces microtubercules terminés par une soie fine et courte, plus visible sur les appendices. Coloration générale brune variée de brun sombre et de noie. Tête noire en-dessus, tubercules antennifères, épines du dessus et buccules brunâtres. Pronotum brun avec une zone noirâtre au milieu des lames marginales et sur la partie apicale du processus postérieur. Hémélytres bruns, marqués d'une bande diffuse noirâtre un peu en avant du milieu, traversant les lames costales, les aires subcostales, et s'élargissant sur une partie des aires discoïdales: aires suturales brunes avec quelques zones noirâtres. Antennes brunes, 4^e article noir; pattes brunes, dernier article tarsal as-

sombri apicalement. Dessous brun sauf les mésopleures qui sont noirâtres.

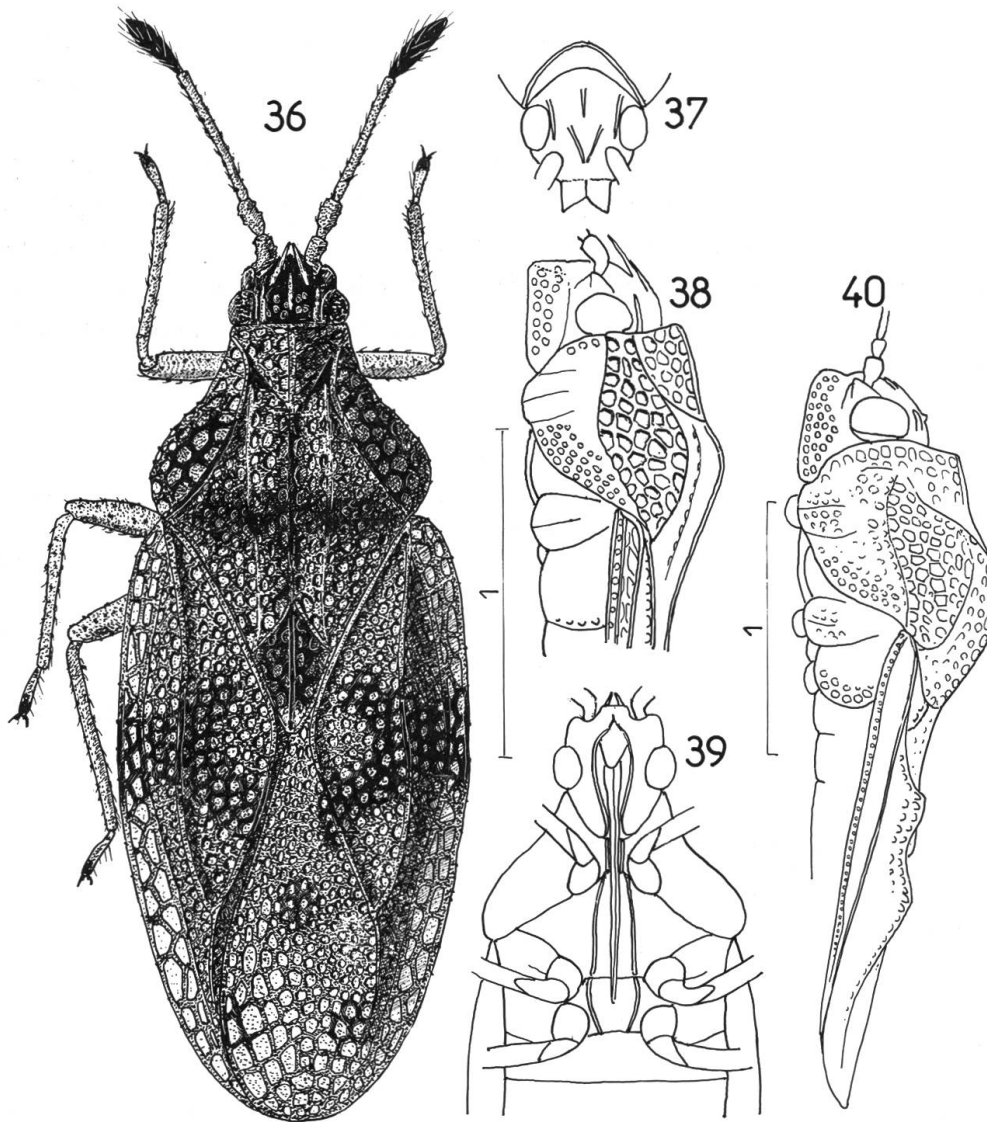
Front ponctué, 2.2 fois aussi large que les yeux vus de dessus; épines céphaliques longues et fines, les frontales 1.3 fois aussi longues que le 2^e article antennaire, la médiane un peu plus courte, les occipitales subégales à la médiane, atteignant le niveau du bord antérieur des yeux. Buccules élevées, soudées en avant dans leur moitié supérieure, séparées dans leur moitié inférieure (Fig. 37). Antennes courtes, 1^{er} article fortement coudé au milieu, 2^e article subégal au 1^{er} en longueur et en diamètre, 3^e article cylindrique, 1.15 fois aussi long que le diatone et 2 fois aussi long que le 4^e article qui est largement fusiforme. Rostre atteignant le milieu du métasternum.

Pronotum 1.4 fois aussi long que large. Ampoule antérieure grande, tectiforme, profondément aréolée, lames marginales complètement réfléchies sur le disque, atteignant en avant les carènes latérales, vues de profil portant 5 rangées d'aréoles polygonales. Disque convexe, portant un bandeau médian longitudinal formé par les 2 carènes latérales rabattues vers l'intérieur et soudées l'une à l'autre sur la ligne médiane; ce bandeau, à bords externes parallèles, porte 6 rangées longitudinales d'aréoles. Carène médiane invisible sauf sur l'ampoule et sur la partie distale du processus postérieur découverte par le bandeau. Processus postérieur couvert, dans sa partie visible, d'aréoles à peu près identiques à celles du bandeau.

Hémélytres pris ensemble 1.75 fois aussi longs que larges. Lames costales portant 2 rangées d'aréoles irrégulières, rectangulaires ou trapézoïdales, plus petites sur la bande sombre. Aires subcostales relativement larges, trisériées sur les $\frac{2}{3}$ antérieurs, bisériées en arrière. Aires discoïdales portant 6–7 rangées d'aréoles transversalement à leur plus grande largeur. Aires suturales très amples, dépassant longuement l'abdomen, aréoles petites et denses, plus ou moins cylindriques sur la moitié antérieure, grandes et polygonales dans la région apicale.

Pattes relativement courtes; fémurs peu renflés; protibias 1.3 fois aussi long que le diatone, métatibias 1.2 fois aussi longs que les protibias; tarses longuement ciliées en-dessous.

Lames mésosternales à peine divergentes d'avant en arrière. Lames métasternales un peu arquées, convergentes de l'avant vers l'arrière, largeur maximale du métasternum un peu supérieure à celle du mésosternum (Fig. 39). Gouttières odorifères invisibles. Sternites abdominaux IV à VIII avec un sillon transversal sur toute leur largeur.



Figs 36–40: 36–39. *Aeipeplus brancuccii* n. sp.: 36, habitus du ♂ holotype. 37, tête vue frontale. 38, profil de l'avant-corps. 39, face ventrale de l'avant-corps. 40. *Dictyla seorsa* Drake & Poor, profil (Echelles en mm).

Mensurations de l'holotype ♂ (en mm): Longueur: tête: 0,22; pronotum: 1.22; hémélytres: 1.87; antennes (articles): (I)0.11– (II)0.11– (III)0.43– (IV)0.21; protibias: 0.48; métatibias: 0.60; longueur totale: 2.65. Largeur: tête (diatone): 0.38; pronotum: 0.87; hémélytres: 1.04.

Type: Holotype ♂ (NHM-Basel): Bhutan, Thimphu, près de Tak Sang, 2200–2700 m, 2.V.1972, expédition NHMB.

Je suis heureux de dédier cette nouvelle espèce au Dr. Michel Brancucci, Musée d'Histoire Naturelle de Bâle.

Le genre *Aeipeplus*, créé par DRAKE & RUHOFF (1962), ne comptait jusqu'à ce jour qu'une seule espèce connue, *A. kaianus*, de l'île de Kai, archipel malais. D'après la description et la figure donnée par les auteurs, *Aeipeplus kaianus* diffère notamment d'*A. brancuccii* n. sp. par sa forme en ovale beaucoup plus court, le bandeau médian de son pronotum s'élargissant fortement d'arrière en avant, les aires suturales des hémélytres beaucoup moins densément aréolées. En outre chez *A. kaianus* les 2 premiers articles antennaires sont noirs et les tibias portent un anneau sombre.

Cochlochila conchata (Matsumura)

Monanthia conchata MATSUMURA, 1913, Thousand Insects of Japan, add. I: 151.

Cochlochila conchata ESAKI, 1932, Icon. Ins. Japan I:1636.

Cochlochila lewisi sensu DRAKE & RUHOFF, 1961, J. Kansas ent. Soc. 34(3): 150. (*nec* SCOTT, 1880).

Matériel étudié: Népal, distr. de Gorkha: Darondi Khola, entre Motar et Naya Sangu, 700 m, cultures, 14.VIII.1983, J. Martens & W. Schawaller (2 ex.).

Espèce d'Extrême-Orient. Au sujet de la confusion avec *Hurdchila lewisi* (Scott), voir PERICART (1985).

Eteoneus sigillatus Drake & Poor

Eteoneus sigillatus DRAKE & POOR 1936, Indian Forest Rec. 2 (5): 144.

Matériel étudié: Pakistan, prov. de Swat: Miandam, alt. 1800–2300 m, 6.III.1978, W. Wittmer (1 ex.).

Connu de l'Inde et du Pakistan.

Eteoneus assamensis n. sp.

Figs 41, 43, 46.

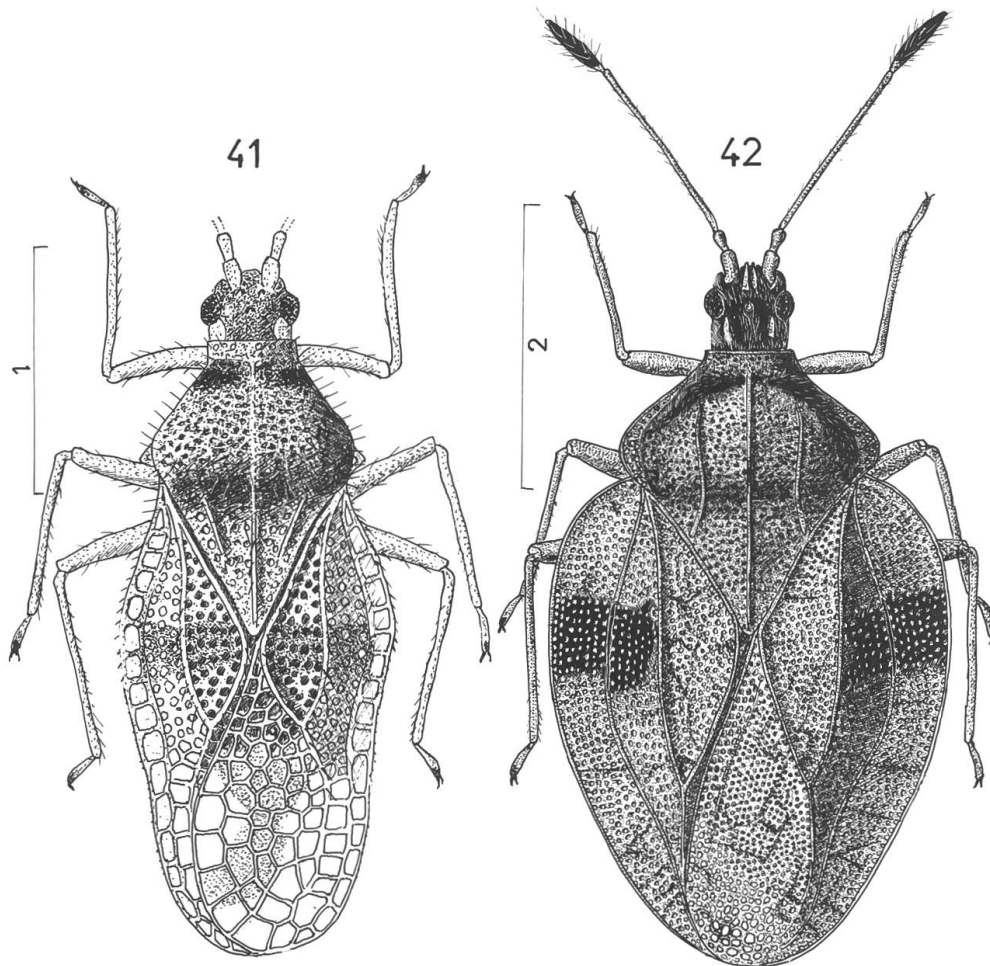
La description ci-après est basée sur 2 ♂ macroptères amputés des 2 derniers articles antennaires.

Habitus: figure 41. Profil de l'avant-corps: figure 46. Face ventrale de l'avant-corps: figure 43. Coloration de la tête et du disque du pronotum d'un brun rougeâtre sombre; col du pronotum, processus postérieur, et hémélytres brun jaunâtre clair, ces derniers avec une bande transversale brune antémédiane et une tache antéapicale brune sur les aires suturales. Pattes brun jaunâtre, tarsi assombris apicalement. Dessous brun. Dessus portant une fine pubescence claire dressée, assez longue, peu serrée.

Tête un peu convexe. Front 3.4 fois aussi large que les yeux vus de dessus. Tubercules occipitaux nuls; tubercule médian et tubercules frontaux réduits à des mamelons. Plaques post-oculaires temporales

bien démarquées, jaunâtre clair. Articles antennaires I et II subégaux en longueur, le 1er plus robuste que le 2^e. Buccules bien développées, soudées en avant, nullement proéminentes au-delà du clypeus. Rostre atteignant le bord postérieur du mésosternum.

Pronotum, processus postérieur inclus, 1.3–1.35 fois aussi long que large, épines latérales incluses. Pas d'ampoule antérieure, celle-ci remplacée par une collerette peu proéminente, tronquée en avant, finement aréolée, à peine carénée au milieu. Lames marginales réduites à un vestige de carène visible seulement de profil (Fig. 46), et à une dent basale triangulaire, plane, jaunâtre, dirigée vers l'extérieur, portée par les angles postérieurs; cette dent présente une petite aréole centrale.



Figs 41–42: 41. *Eteoneus assamensis* n. sp., habitus du ♂ holotype. 42. *Latitingis ampli-pennis* n. sp., habitus de la ♀ holotype (Echelles en mm).

Disque du pronotum convexe, densément ponctué; carène médiane obsoleète sur le disque, bien marquée mais peu élevée sur le processus postérieur. Carènes latérales faibles et visibles seulement sur le processus postérieur qui est triangulaire, régulièrement aréolé.

Hémélytres pris ensemble 1.70 fois aussi longs que larges, notablement élargis de la base jusqu'en avant du milieu, et atténués ensuite, avec une sinuosité sensible dans la région antéapicale. Lames costales pourvues d'une seule rangée de grandes cellules rectangulaires ou un peu arrondies; aires subcostales assez hautes, avec 3 rangées de petites aréoles le long des aires discoïdales, et une seule rangée de grandes cellules au-delà. Aires discoïdales brèves, atteignant à peine le milieu des hémélytres, portant 5 rangées d'aréoles dans leur partie la plus large; nervure (R+M) presque effacée entre les aires subcostales et discoïdales. Aires suturales larges, à grandes cellules polygonales, se recouvrant complètement, dépassant l'abdomen de la moitié de leur longueur; on compte 5 cellules transversalement à la partie la plus ample.

Pattes relativement peu robustes, assez élancées. Protibias 1.8 fois aussi longs que le diatone, métatibias 1.1 fois aussi longs que les protibias, et 1.2 fois aussi longs que les métafémurs.

Régions pleurales densément ponctuées. Gouttières odorifères bien développées. Sillon rostral (Fig. 43) très large mais peu profond sur le mésosternum et encore moins sur le métasternum; lames mésosternales presque parallèles, lames métasternales arquées, métasternum presque cordiforme.

Longueur: 2.6–2.8 mm.

Mensurations de l'holotype ♂ (en mm): – Longueur: tête: 0.22; pronotum: 1.20; hémélytres: 1.90; antennes (articles): (I)0.12– (II)0.12– (III)?– (IV)?; protibias: 0.70. Largeur: tête (diatone): 0.39; front entre les yeux: 0.24; pronotum (épines incluses): 0.90; hémélytres: 1.10.

Types: Holotype ♂ (NHM-Basel) et 1 paratype ♂ (collection de l'auteur): Assam, Kaziranga, 75 m, 7–9.V.1976, W. Wittmer & C. Baroni Urbani.

Cette espèce ressemble assez par sa forme générale à *Eteoneus sigillatus* Drake & Poor, 1936, qui habite le Pakistan et l'Inde. Elle en diffère par de nombreux caractères: absence d'épines occipitales, présence de prolongements aigus sur les angles postérieurs du pronotum, corps hérissé de soies, coloration beaucoup plus claire. Elle se différencie facilement de toutes les autres espèces Orientales d'*Eteoneus* par ses lames costales unisériées à grandes aréoles rectangulaires.

Latitingis n. gen.Espèce-type: *Latitingis amplipennis* n. sp.

Tête pourvue de 5 épines; buccules soudées en avant; tempes munies de plaques post-oculaires. Pronotum démuné d'ampoule; lames marginales peu développées; disque tricaréné. Hémélytres à réticulation très dense et très fine; lames costales et subcostales très larges, disque subplan. Gouttières odorifères bien visibles. Sternites abdominaux non sillonnés transversalement. ♀. Ovipositeur à ovivalvule nulle ou très petite.

Divers caractères de ce genre marquent sa convergence ou son affinité avec *Eteoneus* Distant, 1903; il en diffère par son pronotum tricaréné et sa tête beaucoup plus allongée.

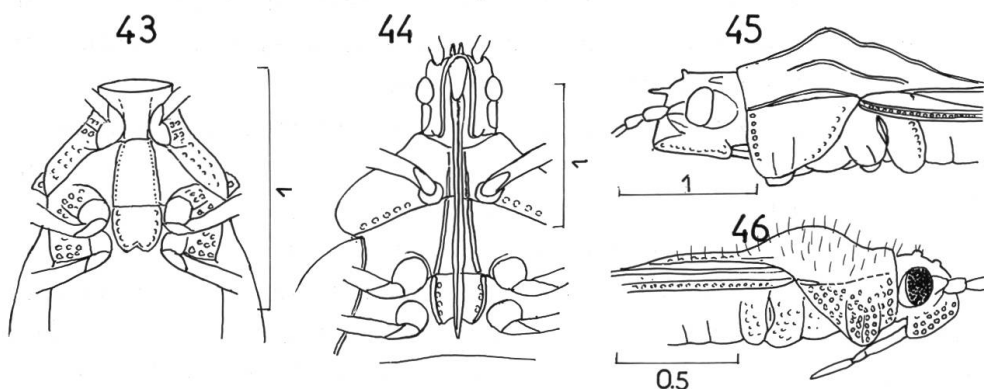
Latitingis amplipennis n. sp.

Figs 42, 44, 45.

La description ci-après est basée sur une ♀ unique, macroptère.

Habitus: figure 42. Profil de l'avant-corps: figure 45. Face ventrale de l'avant-corps: figure 44. En ovale court, très large, très finement et très densément aréolé en dessus, portant une pubescence dorée, couchée, dispersée, extrêmement courte.

Tête brun noir; clypeus, plaques temporales et épines du dessus plus clairs. Disque du pronotum brun rougeâtre sombre en-dessus, noirâtre sur les côtés et en avant; processus postérieur plus clair vers l'apex. Hémélytres brun jaune avec une large bande transversale noirâtre vers le $\frac{1}{3}$ antérieur des lames costales, se prolongeant sur toute la largeur des aires subcostales; le reste de la surface avec des linéoles sombres dispersées çà et là. Antennes et pattes brunes, le 4^e article an-



Figs 43–46: 43. *Eteoneus assamensis* n. sp., face ventrale thoracique. 44–45. *Latitingis amplipennis* n. sp.: 44, face ventrale de l'avant-corps. 45, profil de l'avant-corps. 46. *Eteoneus assamensis*, profil de l'avant-corps (Echelles en mm).

tennaire noir sauf à l'extrême base, et le dernier article tarsal assombri apicalement. Régions pleurales et sternales thoraciques noirâtres, lames sternales brun sombre, abdomen brun.

Tête allongée, les tempes aussi longues que les yeux qui sont relativement petits. Front 2.6 fois aussi large que les yeux de dessus. Epines frontales parallèles, rapprochées, dirigées vers l'avant, presque aussi longues que le 2^e article antennaire; épine médiane réduite à un tubercule; épines occipitales émoussées, nullement soulevées, parallèles, à peu près aussi longues que les frontales et dépassant peu en avant le niveau du bord postérieur des yeux. Antennes assez longues; 1^{er} et 2^e articles courts, le 2^e plus bref et moins large que le premier; 3^e article cylindrique, mince, 2 fois aussi long que le diatome et 2.3 fois aussi long que le 4^e article qui est en fuseau assez allongé. Buccules très peu élevées. Rostre atteignant le milieu du 1^{er} sternite abdominal apparent.

Pronotum, processus postérieur inclus, 1.1 fois aussi long que large; bords latéraux arrondis postérieurement, et de là fortement convergents vers l'avant et sensiblement rectilignes sur la moitié antérieure. Lames marginales peu développées, nullement redressées, présentant leur largeur maximale à l'arrondi postérieur, où elles portent 3 rangées de petites aréoles circulaires, puis s'amincissant régulièrement vers l'avant pour se réduire à une carène sur le col antérieur. Collerette large, mal délimitée postérieurement, portant plusieurs rangées de petites aréoles circulaires. Callosités antérieures lisses, noirâtres. Disque convexe, finement ponctué. Carènes longitudinales bien marquées, présentant vues de profil une rangée de petites aréoles; carène médiane vue de profil légèrement bisinuée sur la déclivité postérieure du disque; carènes latérales légèrement convergentes d'avant en arrière du disque, puis divergentes et un peu arquées vers l'extérieur sur la déclivité et sur le processus postérieur, qui est triangulaire; aréoles du processus pas plus grandes que la ponctuation du disque.

Hémélytres pris ensemble 1.27 fois aussi longs que larges. Lames costales très amples, subplanes, nullement relevées, portant 7–8 rangées de très petites cellules cylindriques. Aires subcostales presque aussi larges, avec 8 rangées. Aires discoïdales 0.6 fois aussi longues que l'hémélytre, avec 12 rangées d'aréoles transversalement à leur partie la plus ample. Aires suturales bien développées, se recouvrant complètement en arrière, dépassant l'abdomen de presque la moitié de leur longueur; on compte 18–19 aréoles transversalement à leur région la plus ample; les aréoles de la partie postérieure sont un peu plus grandes que les autres et distinctement polygonales.

Pattes assez grâciles; protibias 1.7 fois aussi longs que le diatone; métatibias 1.15 fois aussi longs que les protibias.

Sillon thoracique peu profond mais lames sternales bien développées (Fig. 44); lames mésosternales divergentes d'avant en arrière; lames métasternales arquées. Métasternum un peu plus large que la partie postérieure du mésosternum; sillon rostral largement ouvert en arrière.

Mensurations de l'holotype ♂ (en mm): Longueur: tête: 0.58; pronotum: 1.95; hémélytres: 3.60; antennes (articles): (I)0.20– (II)0.15– (III)1.28– (IV)0.55; protibias: 1.10; métatibias: 1.26; longueur totale comptée du clypeus jusqu'au bord postérieur des hémélytres: 5.00. Largeur: tête (diatone): 0.64; pronotum: 1.80; hémélytres: 2.75.

Holotypes ♀ (NHM-Basel): Inde Nord-Est, district de Darjeeling, Ramam, 2450 m, 19.V.1975, W. Wittmer.

Remerciements

L'auteur adresse ses remerciements à MM les Drs Cl. Besuchet et I. Löbl, Musée d'Histoire naturelle de Genève, M. le Dr M. Brancucci, Musée d'Histoire naturelle de Bâle, et M. le Professeur J. Martens, Université Johann Gutenberg de Mayence, pour les matériels communiqués. Il remercie également MM les Drs W. R. Dolling, British Museum, Londres, R. C. Froeschner et T. J. Henry, U.S. National Museum, Washington, pour les facilités accordées en vue de l'étude des anciennes collections.

Bibliographie

- DISTANT, W. L. (1902): *Rhynchotal miscellanea*. Ann. S. Afr. Mus. 2 (9): 237–254.
 DISTANT, W. L. (1903): *The Fauna of British India, including Ceylon and Burma. Rhynchota*. Vol. II (Heteroptera). London, 509 pp.
 DRAKE, C. J. (1942): *New Tingitidae (Hemiptera)*. Iowa St. Coll. J. Sci. 17 (1): 1–21.
 DRAKE, C. J. (1948): *New species of Stephanitis STÅL including a list of species of the World (Hemiptera)*. Notes Ent. chin. 12 (6): 45–56.
 DRAKE, C. J. & DAVIS, N. T. (1960): *The morphology, phylogeny and higher classification of the family Tingidae, including the description of a new genus and species of the subfamily Vianaidinae (Hemiptera: Heteroptera)*. Entomologia am. 39: 1–100.
 DRAKE, C. J. & MAA, T. C. (1953): *Chinese and other Oriental Tingoidae (Hemiptera)*. Q. Jl Taiwan Mus. 6 (2): 87–101.
 DRAKE, C. J. & MOHANASUNDARUM, M. (1961): *New Tingidae from South India (Hemiptera)*. Gt Basin Nat., 21 (4): 108–113.
 DRAKE, C. J. & POOR, M. E. (1936): *New Indian Tingitidae (Hemiptera)*. – Indian Forest Rec. 2 (5): 141–149.

- DRAKE, C. J. & POOR, M. E. (1939): *Some Tingitidae (Hemiptera) from the Eastern Hemisphere*. Proc. Hawaii Ent. Soc. 10 (2): 203–207.
- DRAKE, C. J. & RUHOFF, Fl. A. (1962): *The Tingidae of Amboina, Larat and Kai Islands (Hemiptera)*. Pacif. Insects 4 (4): 729–736.
- DRAKE, C. J. & RUHOFF, Fl. A. (1965): *Lacebugs of the World. A Catalog. (Hemiptera: Tingidae)*. U.S. natn Mus., Bull. 243: 634 pp., Washington.
- FIEBER, F. X. (1844): *Entomologische Monographien*. Leipzig, 138 pp.
- PERICART, J. (1979): *Insects of Saudi Arabia. Hemiptera: Fam. Tingidae*. Fauna of Saudi Arabia 1: 104–114.
- PERICART, J. (1981): *Quatre espèces nouvelles de Cantacaderinae du Nord de l'Inde, représentant trois genres nouveaux (Hemiptera Tingidae)*. Revue suisse Zool. 88 (3): 595–605.
- PERICART, J. (1982): *Révision systématique des Tingidae Ouest-paléarctiques (Hemiptera) 9. Compléments et corrections*. Annl. Soc. ent. Fr. (N.S.) 18 (3): 349–372.
- PERICART, J. (1983a): *Deux Cantacaderinae nouveaux du Népal de la tribu des Phatnomini (Hemiptera Tingidae)*. Revue suisse Zool., 90 (3): 593–597.
- PERICART, J. (1983b): *Hemiptères Tingidae euro-méditerranéens*. Faune de France 69. Paris. 620 pp., 250 fig.
- PERICART, J. (1984): *Tingidae nouveaux ou intéressants du Nord du sous-continent indien (Hemiptera)*. I. Entomologica Basiliensia 9: 23–47.
- PERICART, J. (1985): *Identité de Leptodictya ? lewisi Scott 1880, et conséquence sur la nomenclature (Hemiptera, Tingidae)*. Nouv. Rev. Ent., N.S. 2 (2): 169–174.
- SCOTT, J. (1874): *On a collection of Hemiptera Heteroptera from Japan. Descriptions of various new genera and species*. Ann. Mag. nat. Hist., ser. 4, 14: 289–304, 360–365, 426–452.
- STÅL, C. (1855): *Hemiptera från Kafferlandet*. Öfv. Kongl.-Vet. Ak. Förh. 12 (1): 27–46.
- TAKEYA, C. (1951): *A tentative list of Tingidae of Japan and her adjacent territories (Hemiptera)*. Kurume Univ. J. (Nat. Sci.) 4 (1): 5–28.

Adresse de l'auteur:
Ing. Jean Péricart
10 rue Habert
F-77130 Montereau